

NENÁHODNÉ PÁROVÁNÍ GAMET

PŘÍBUZENSKÉ KŘÍŽENÍ (INBREEDING)

= oplození mezi biologicky příbuznými jedinci

Jestliže každý z nás má 2 rodiče, pak má 4 prarodiče, 8 praprarodičů...

→ obecně 2^n předků

tj. po 10 generacích $2^{10} = 1024$, po 30 generacích = 1 073 741 824


pokud 1 generace \approx 25 let, pak před 1000 lety (40 gen.) by každý z nás měl mít > 1000 mld. předků

⇒ všichni sdílíme společné předky

Vliv příbuzenského křížení na frekvence genotypů:

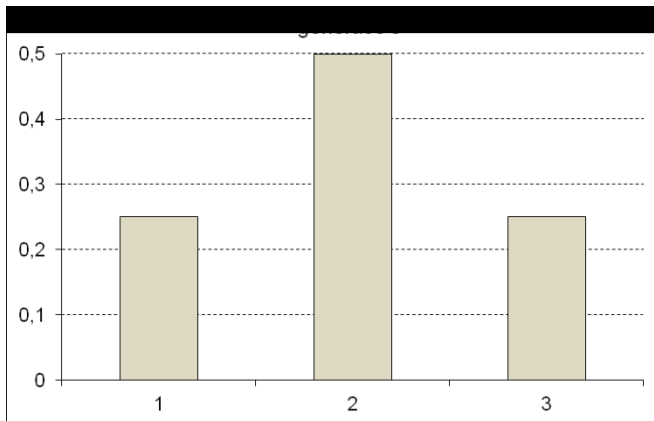
Př.: opakované samooplození (autogamie, samosprašnost):

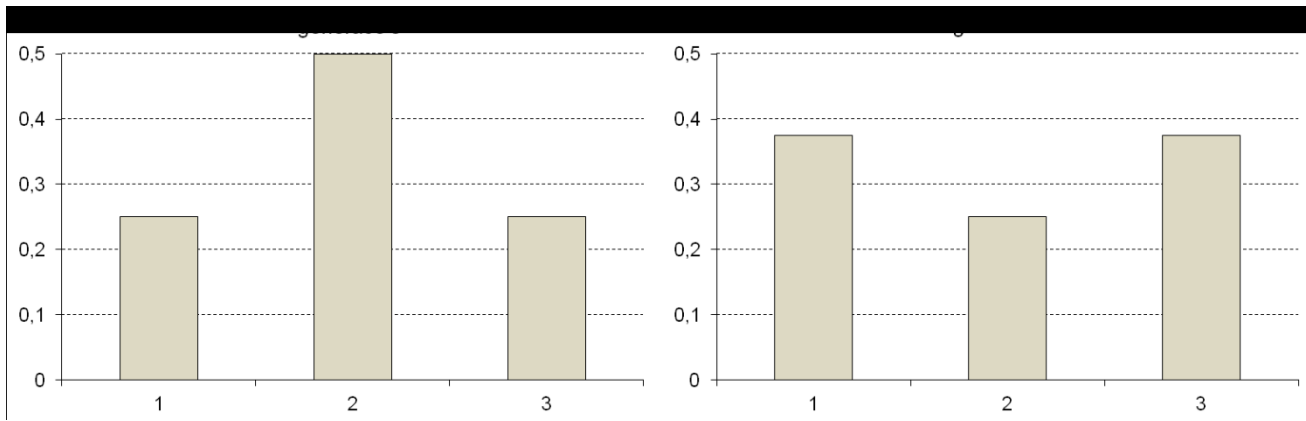
výchozí generace – HW rovnováha:

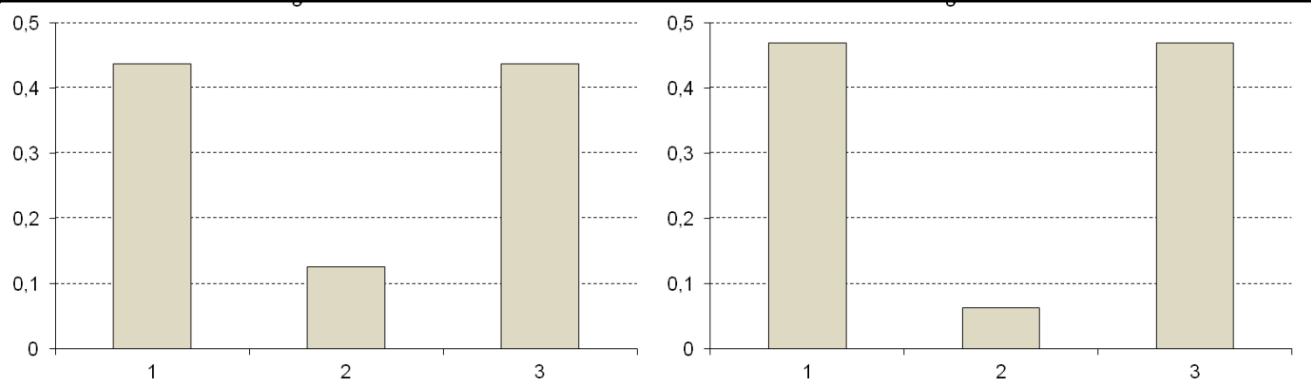
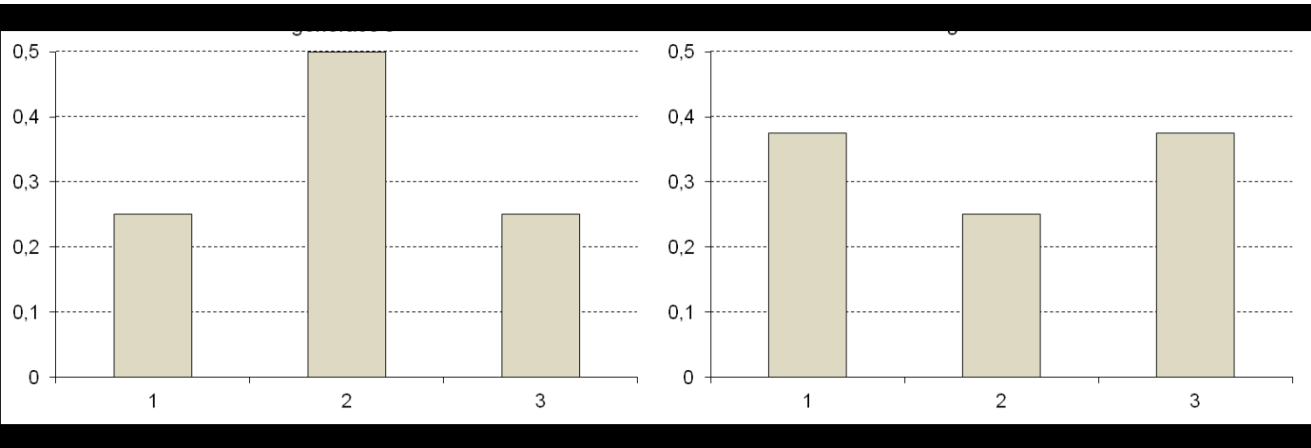
0. generace autogamie: $1/4 AA$,		$1/4 aa$
1. generace autogamie: $3/8 AA$,		$3/8 aa$
2. generace autogamie: $7/16 AA$,		$7/16 aa$

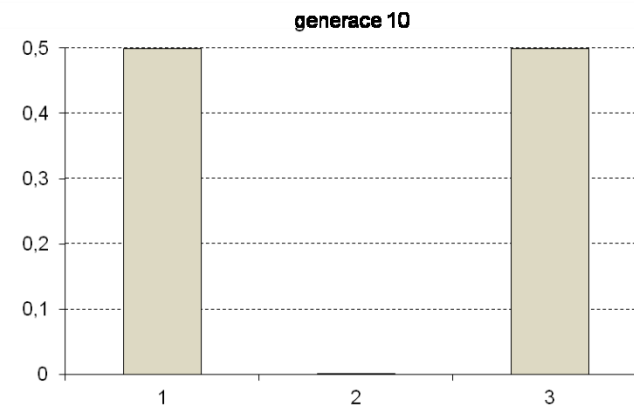
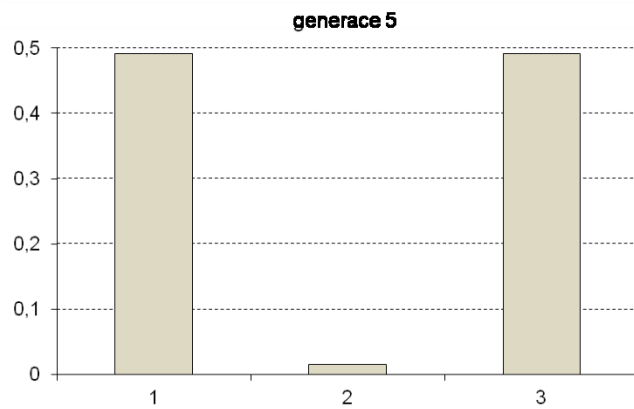
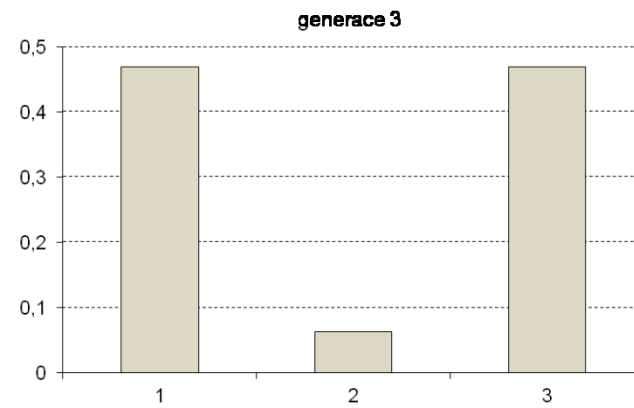
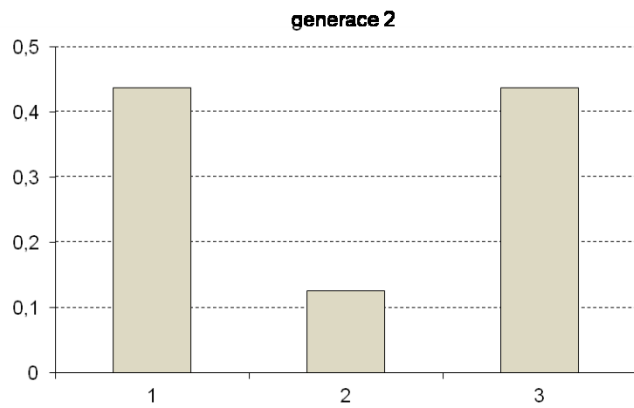
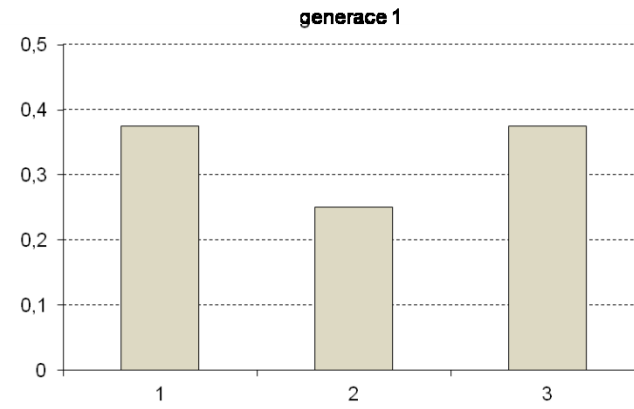
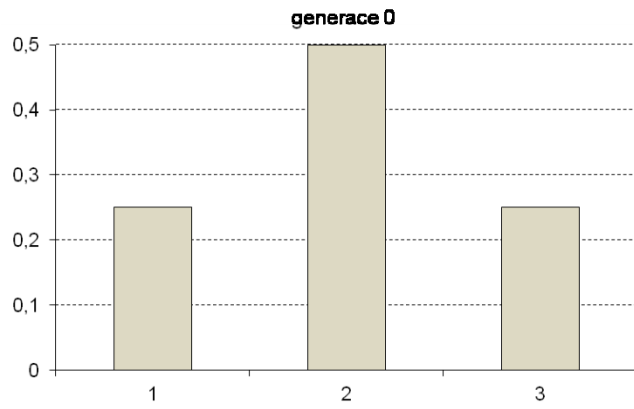


$1/2 \rightarrow 1/4 \rightarrow 1/8 \rightarrow 1/16 \dots \Rightarrow$ v každé generaci o $1/2$ méně









Kvantifikace inbreedingu → koeficienty inbreedingu

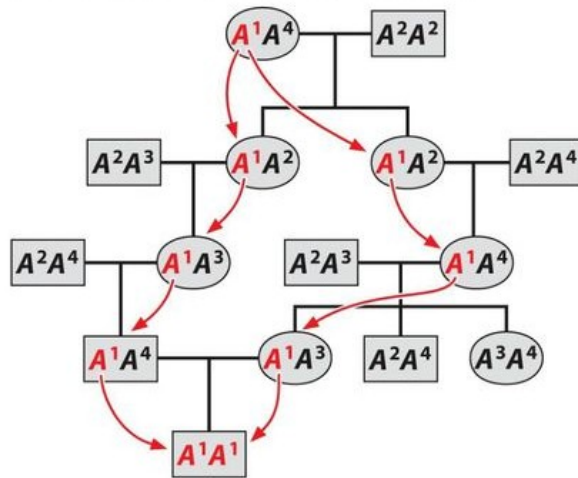
Pozor, tyto alternativní přístupy měří odlišné jevy
a mohou být nekompatibilní!

1. Rodokmenový inbreeding:

autozygotnost:

alely identické původem (*identical by descent*, IBD), vždy homozygot

Alleles identical by descent



These two copies of the A^1 allele are descended from the same copy in a common ancestor; so they are identical by descent.

1. Rodokmenový inbreeding:

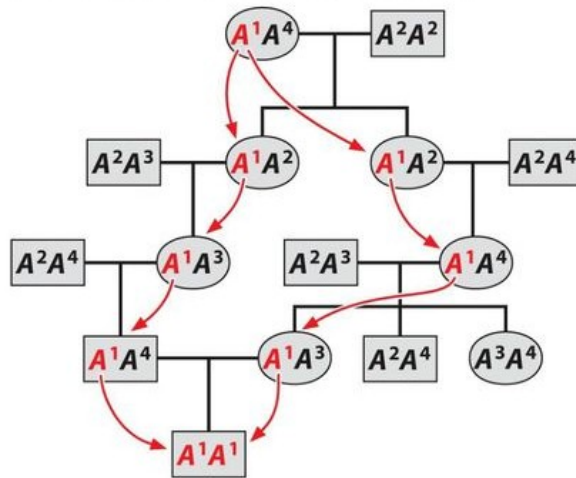
autozygotnost:

alely identické původem (*identical by descent, IBD*), vždy homozygot

alozygotnost:

bud' heterozygot, nebo homozygot – v tom případě jsou alely identické stavem (*identical by state, IBS*)

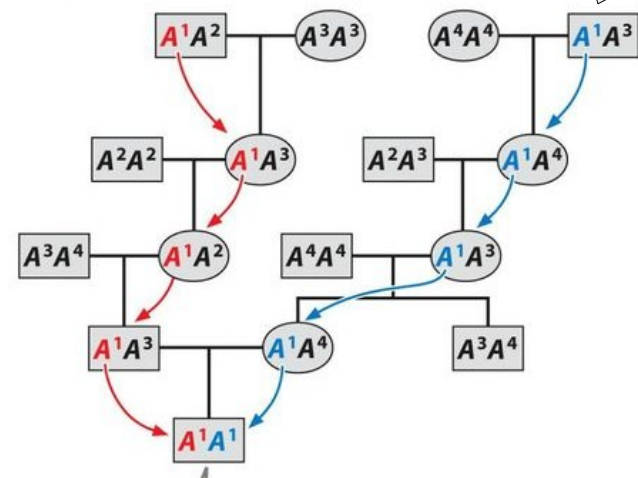
Alleles identical by descent



These two copies of the A^1 allele are descended from the same copy in a common ancestor; so they are identical by descent.

Figure 25.4a
Genetics: A Conceptual Approach, Fifth Edition
© 2014 W. H. Freeman and Company

Alleles identical by state



These two copies of the A^1 allele are the same in structure and function, but are descended from two different copies in ancestors; so they are identical in state.

Figure 25.4b
Genetics: A Conceptual Approach, Fifth Edition
© 2014 W. H. Freeman and Company

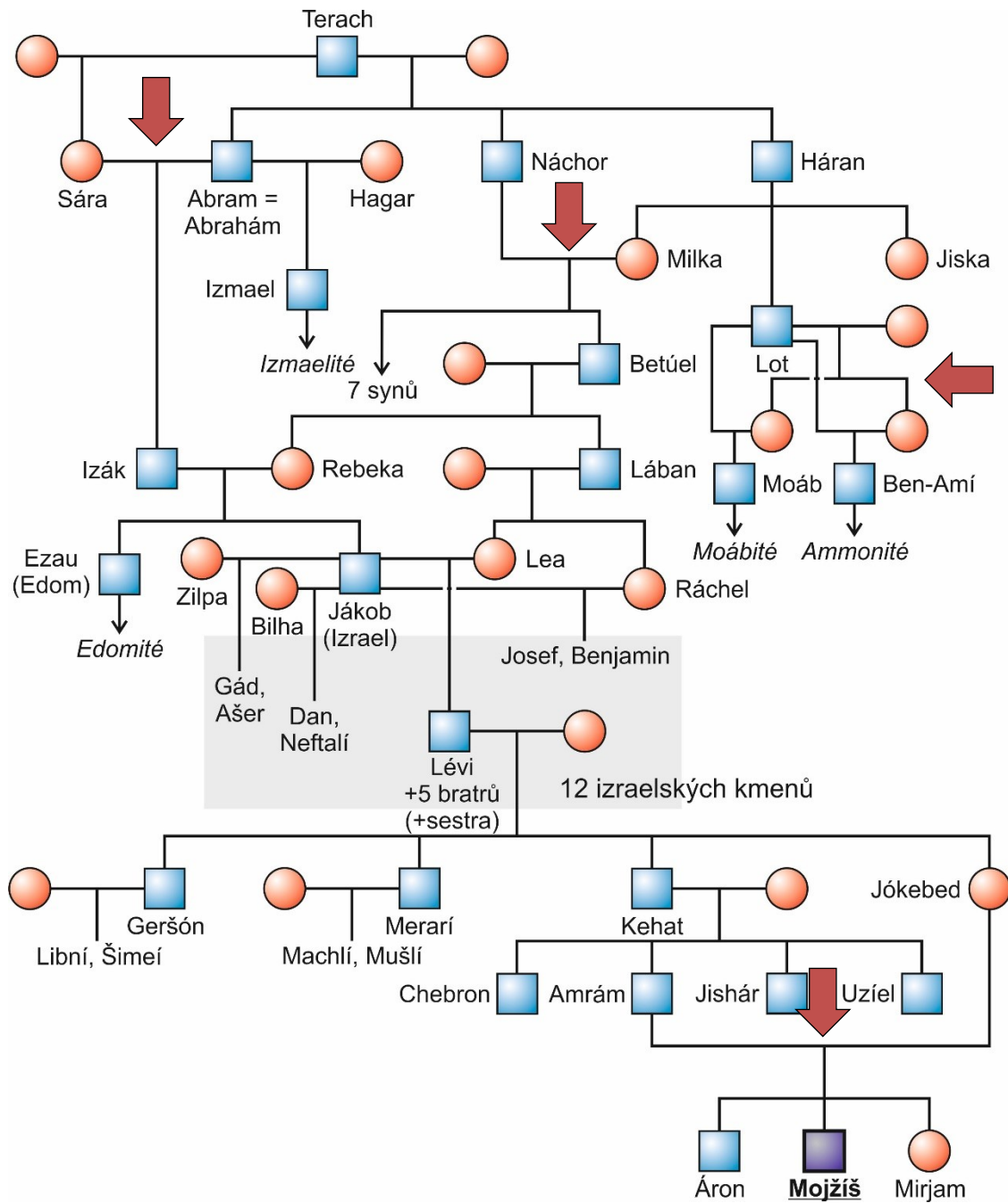
alely vznikly
nezávisle
konverencí

Rodokmenový koeficient inbreedingu F

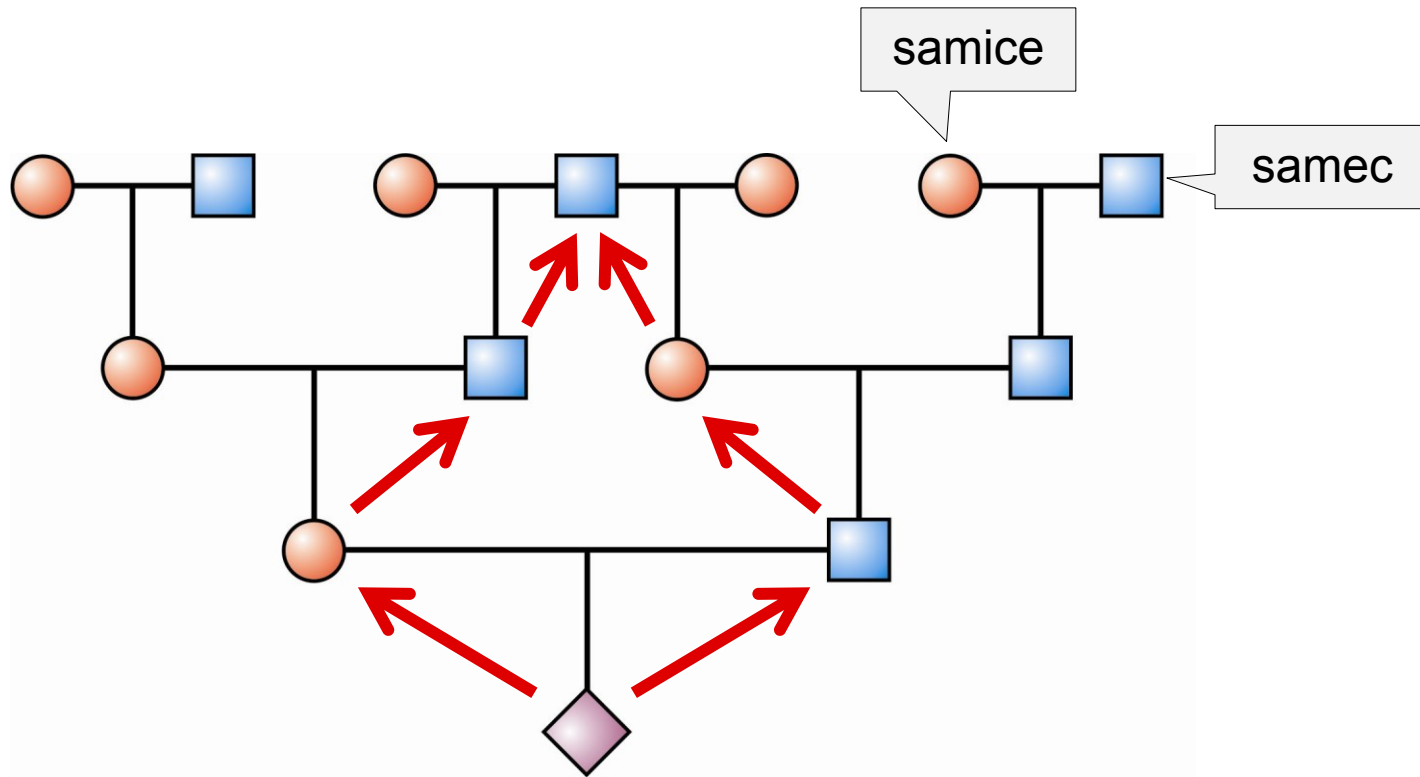
F = pravděpodobnost, že potomstvo je homozygotní v důsledku autozygotnosti na náhodně vybraném autozomálním lokusu

$$0 \leq F \leq 1$$

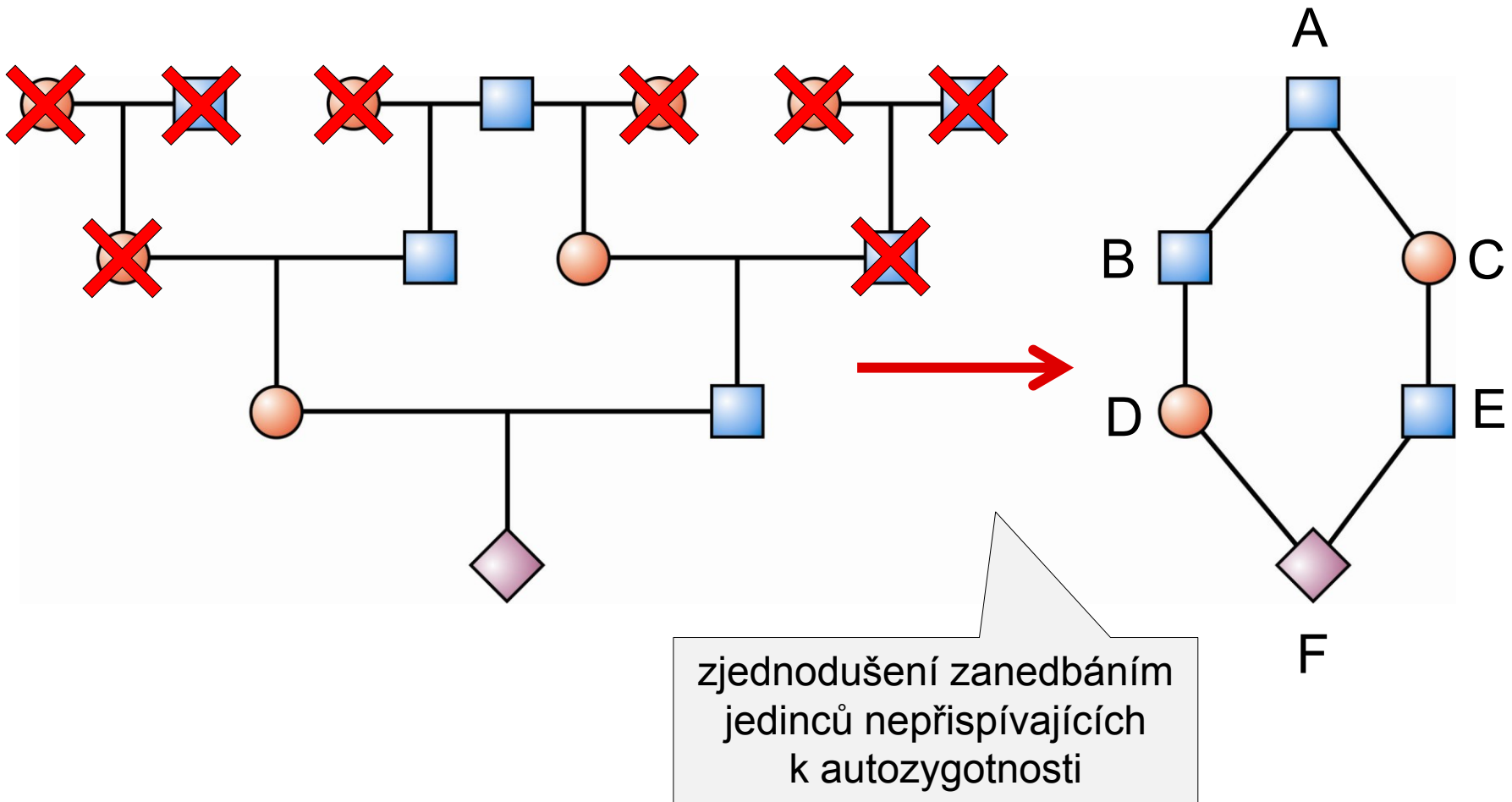
Inbrední populace = taková, u níž pravděpodobnost autozygotnosti v důsledku křížení mezi příbuznými > v panmiktické populaci

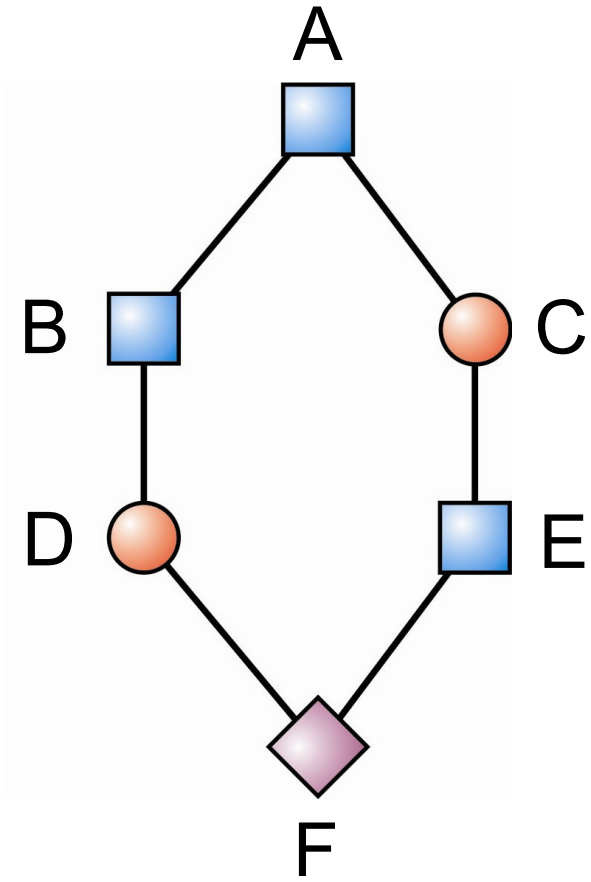


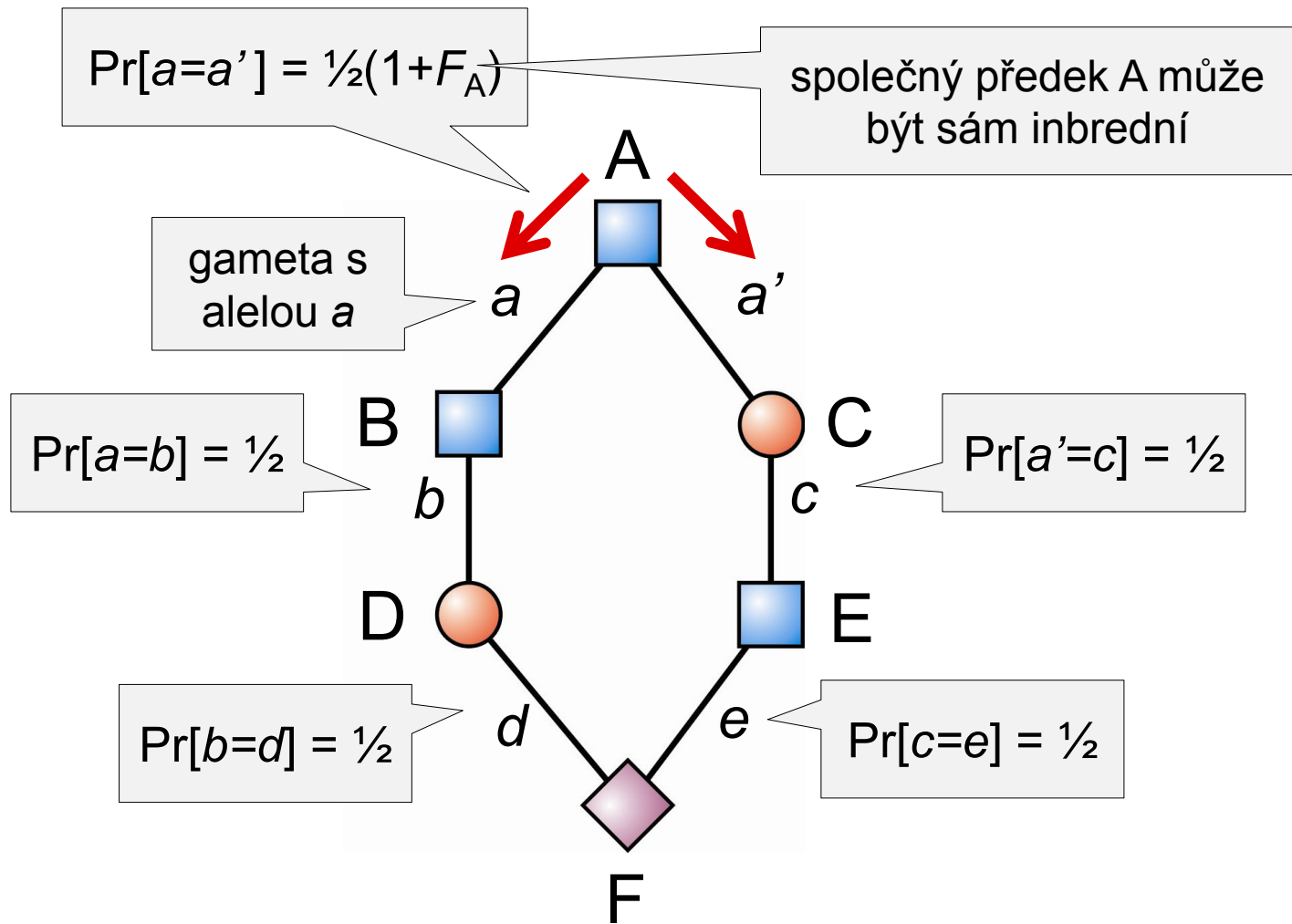
F lze vypočítat pro daného jedince aplikováním Mendelova zákona o segregaci na jeho rodokmen



F lze vypočítat pro daného jedince aplikováním Mendelova zákona o segregaci na jeho rodokmen





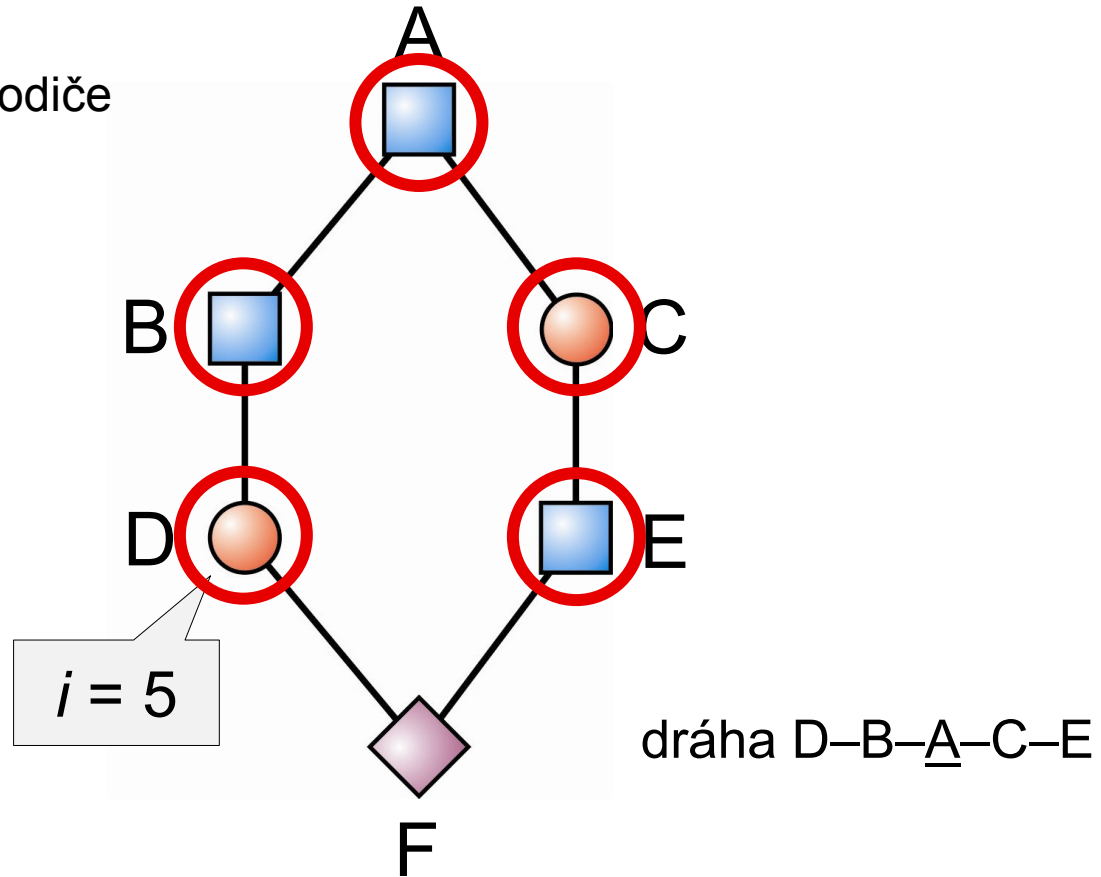


Protože přenosy gamet jsou nezávislé, platí:

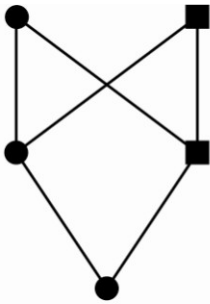
$$\Pr \text{ autozygotnosti } F = \Pr[b=d] \Pr[a=b] \Pr[a=a'] \Pr[a'=c] \Pr[c=e] = \frac{1}{2} \frac{1}{2} \frac{1}{2}(1+F_A) \frac{1}{2} \frac{1}{2} = \left(\frac{1}{2}\right)^5(1+F_A)$$

$$F = (1/2)^i (1 + F_A),$$

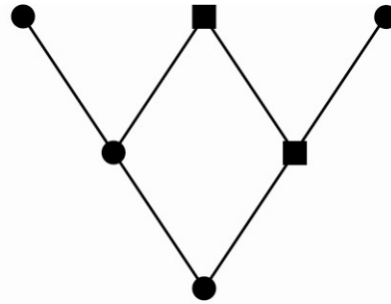
kde i = počet předků
v dráze od jednoho rodiče
ke druhému



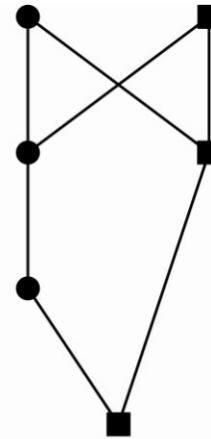
F_A většinou neznáme \Rightarrow předpoklad, že $F_A = 0$



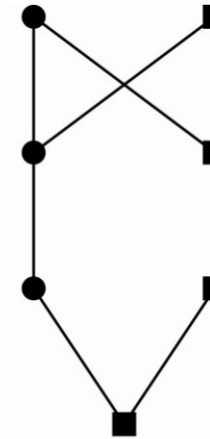
sourozenci
 $F = 1/4$



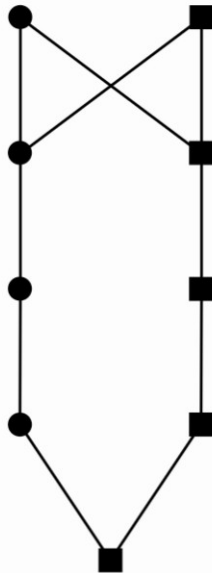
sourozenci
sdílející jen otce
 $F = 1/8$



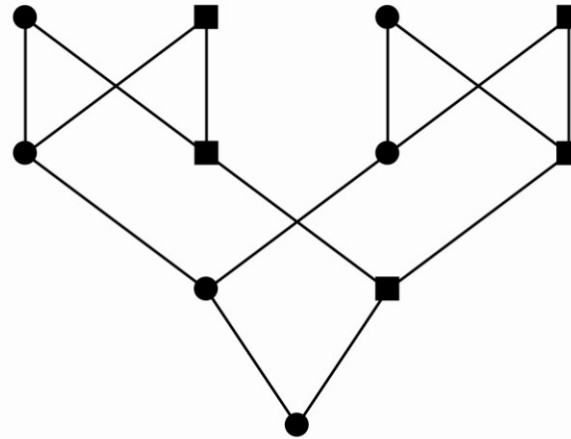
strýc-neteř
 $F = 1/8$



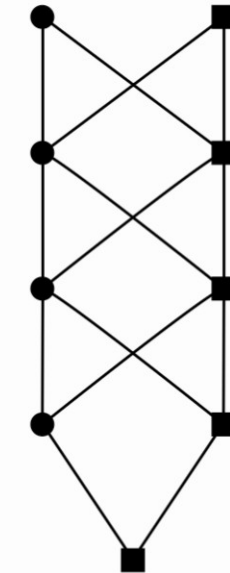
bratranec-sestřenice
 $F = 1/16$



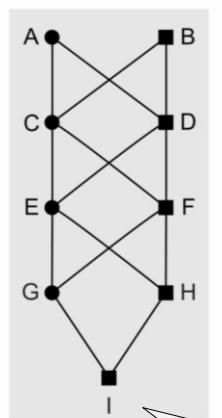
o generaci vzdálenější
bratranec-sestřenice
 $F = 1/64$



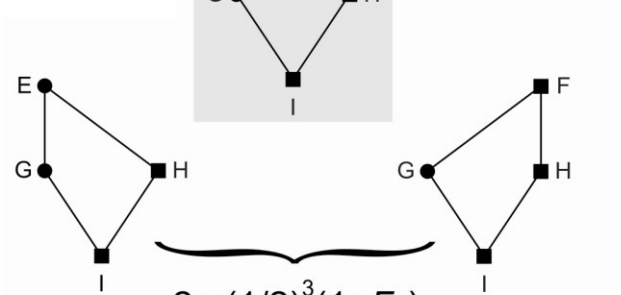
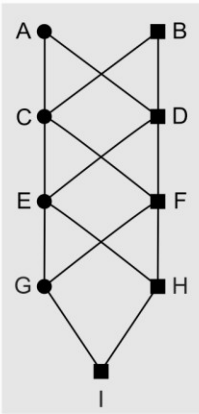
dvojnásobní
bratranec-sestřenice
 $F = 1/8$



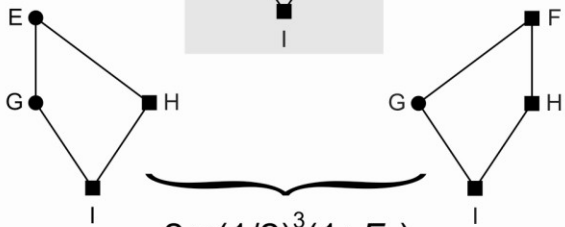
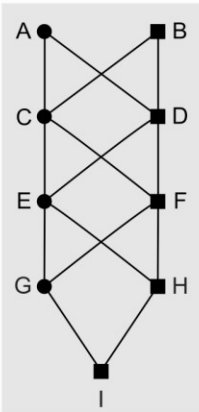
tři generace
striktního inbridingu



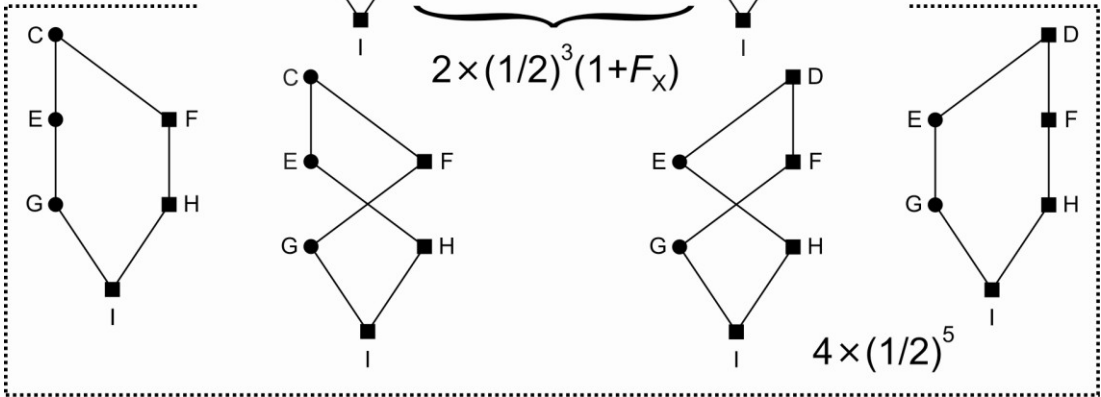
jaký je koeficient
inbreedingu jedince I?

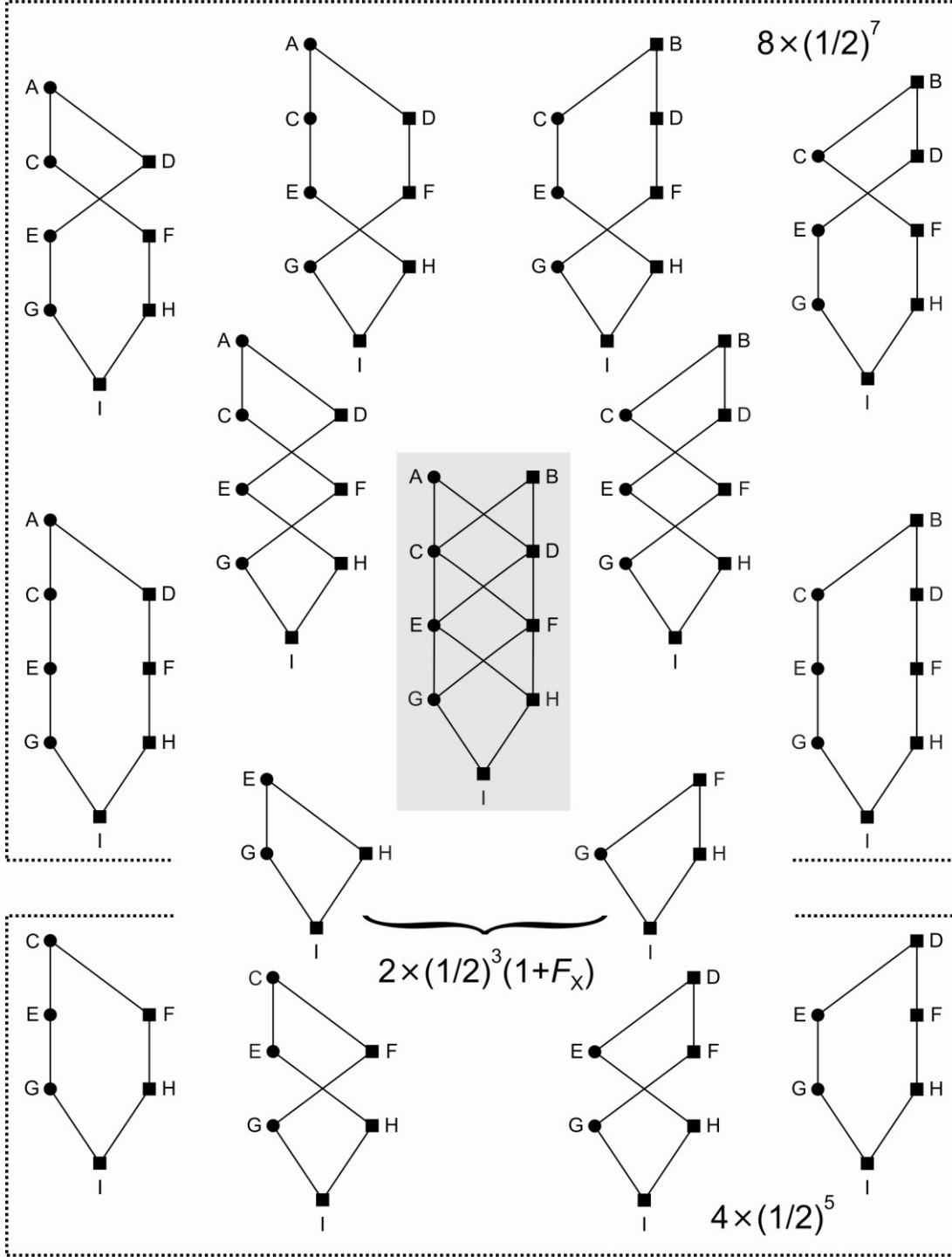


$$2 \times (1/2)^3 (1 + F_x)$$



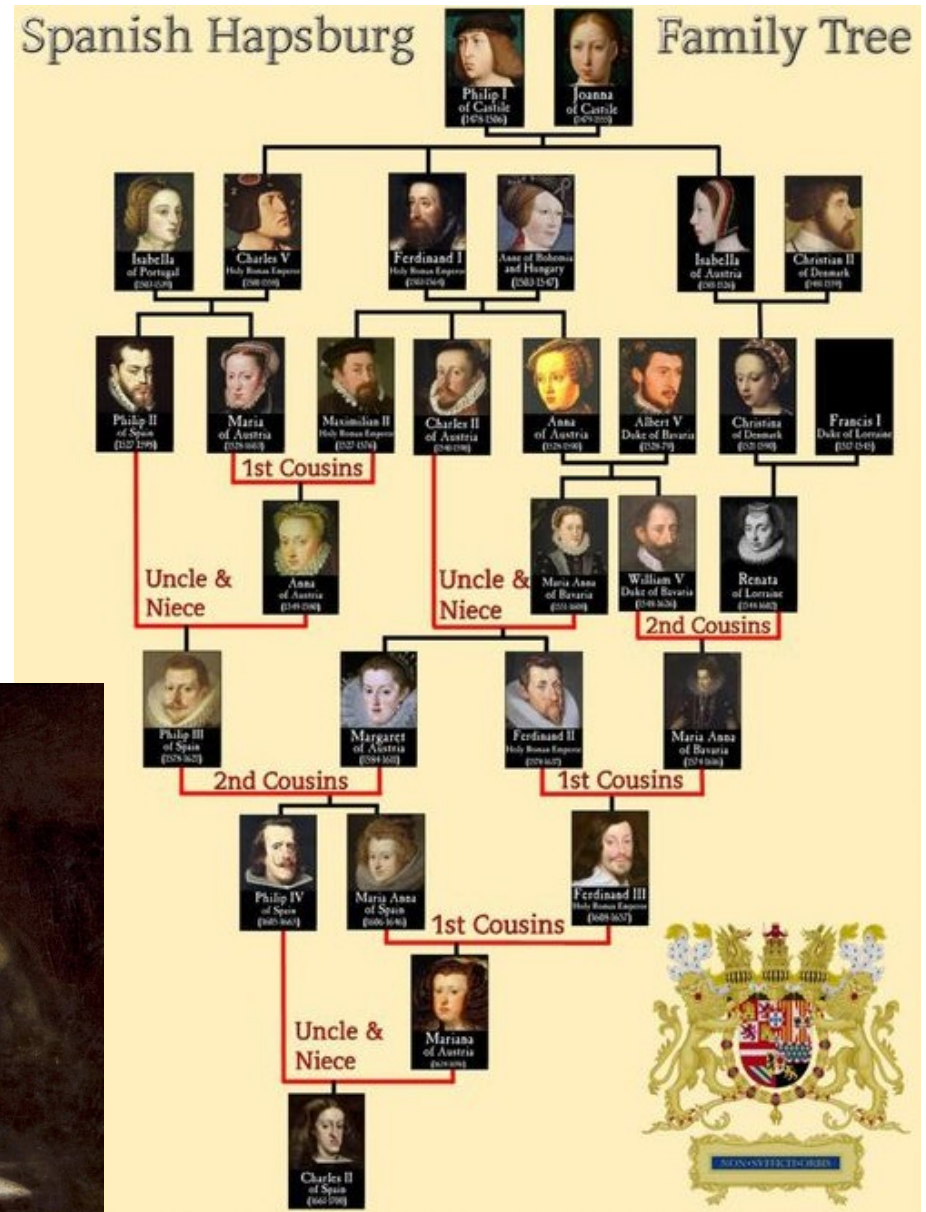
$$2 \times (1/2)^3 (1 + F_X)$$





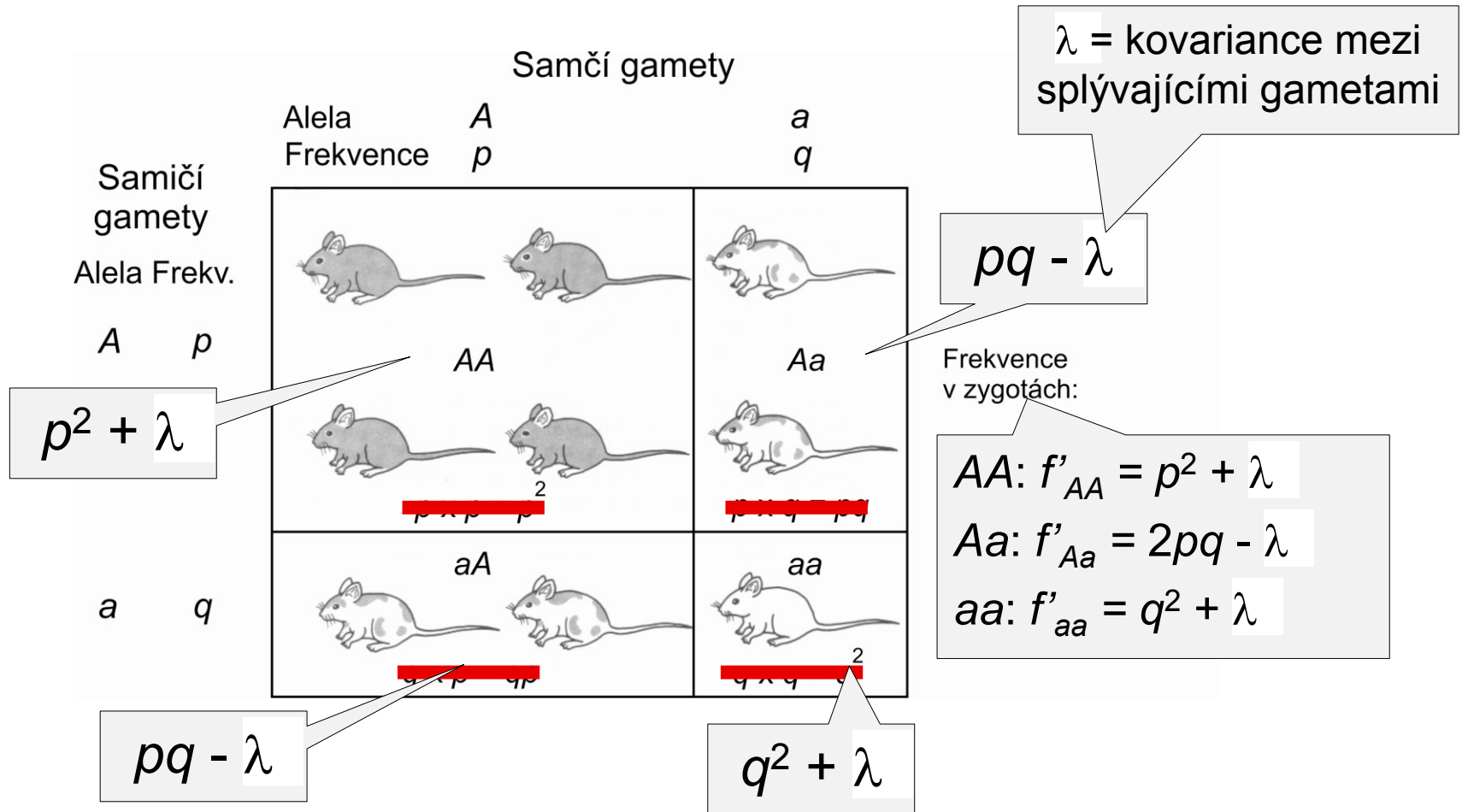
Alvarez et al. (2009): španělská větev Habsburků mezi lety 1516–1700

průměrný $F = 0,129$
(0,025 – 0,254)



2. Démonový inbreeding:

= inbreeding jako odchylka od HW rovnováhy



Démový koeficient inbreedingu F_{IS}

vhodnější měřit odchylku od HW jako *korelaci* mezi splývajícími gametami v dému než jako kovarianci

korelace $F_{IS} = \lambda/pq$:

$$-1 \leq F_{IS} \leq 1$$

$$AA: f'_{AA} = p^2 + \lambda = p^2 + pqF_{IS}$$

$$Aa: f'_{Aa} = 2pq - \lambda = 2pq(1 - F_{IS})$$

$$aa: f'_{aa} = q^2 + \lambda = q^2 + pqF_{IS}$$

Alternativní interpretace F_{IS} :

$$f'_{Aa} = 2pq(1 - F_{IS}) \dots$$

víme, že:

$$f'_{Aa} = H_o$$

$$2pq = H_e$$

$$\Rightarrow H_o = H_e(1 - F_{IS})$$

pozorovaná
heterozygotnost
v děmu

heterozygotnost
očekávaná na
základě HW

$$F_{IS} = 1 - \frac{H_o}{H_e} = \frac{H_e - H_o}{H_e}$$

Rozdíly mezi F a F_{IS} :

Gazella spekei, St. Louis ZOO:



G. spekei

1 + 3 (1969-1972) z Afriky

1982: všechny původně odchycené gazely mrtvé

protože zakladatelem stáda jen 1 samec, všichni potomci nutně inbrední
bez ohledu na systém páření (chovný program)

průměrný $F = 0,149 \Rightarrow$ **indikace silného inbreedingu**

× průměrný $F_{IS} = -0,291 \Rightarrow$ **indikace silného outbreedingu!**



hutterité (anabaptisté = novokřtěnci) z Velkých plání v USA a Kanadě:

malá skupina protestantů z Tyrolských Alp

navzdory striktnímu dodržování tabu incestu $F = 0,0255 \Rightarrow$ jedna z nejvíce inbredních známých skupin lidí

příčinou malý počet zakladatelů

\Rightarrow historický kontext hraje významnou roli

Rozdílné vlastnosti rodokmenového a děmového koeficientu inbreedingu:

Vlastnost	F	F_{IS}
Data k výpočtu	rodokmen vybraných jedinců	genotypové frekvence pro daný lokus v děmu
Typ matematické míry	pravděpodobnost	korelační koeficient
Rozmezí hodnot	$0 \leq F \leq 1$	$-1 \leq F_{IS} \leq 1$
Aplikace na:	jedince	děmy
Biologický význam	očekávaná Pr. IBD na náhodně vybraném autozomálním lokusu jedince způsobená příbuzností mezi jeho rodiči	system páření děmu měřený jako odchylky od očekávaných frekvencí genotypů při náhodném oplození

$\Rightarrow F$ je *individuální*, F_{IS} je *skupinový*

(pokud třeba pracovat s populací, F nutno brát jako populační průměr)

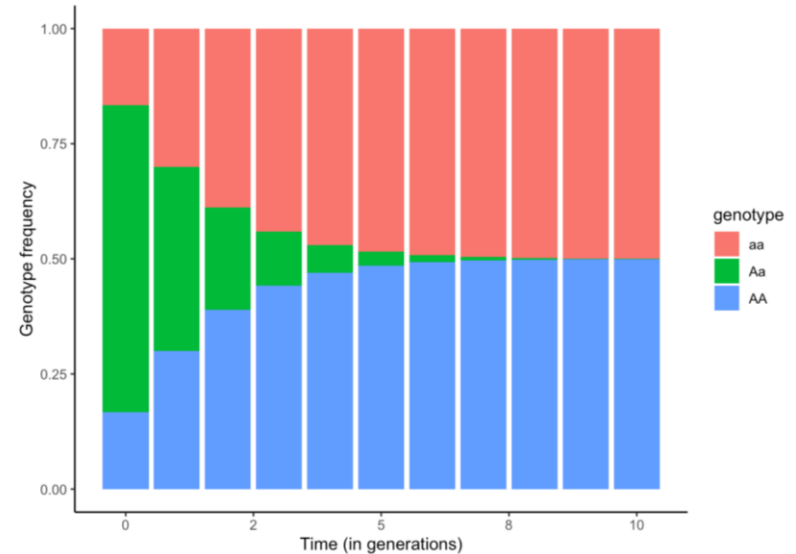
Genetické důsledky inbreedingu:

změna frekvencí *genotypů* (zvýšení frekvence homozygotů)
frekvence *alel* se *nemění**

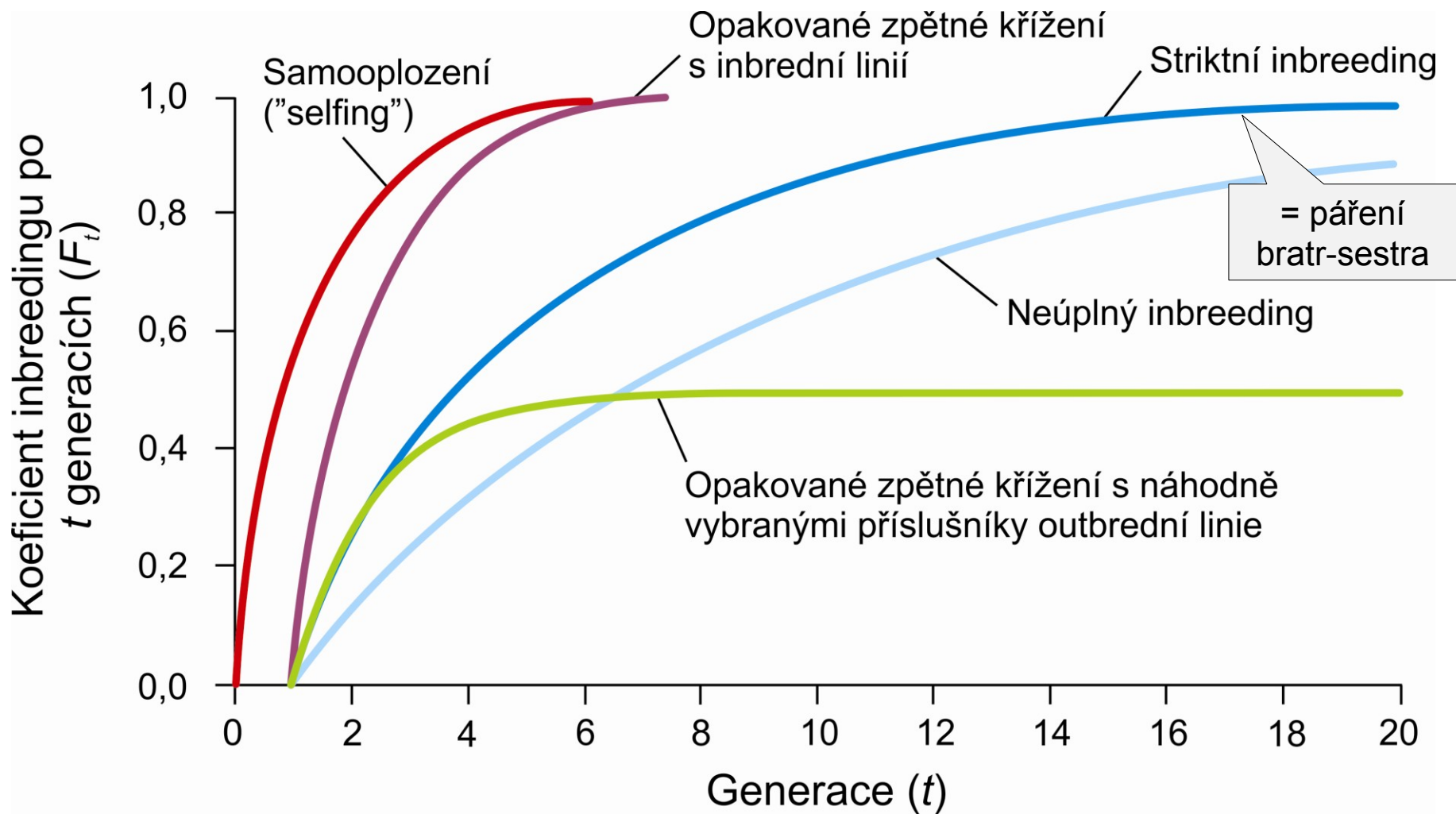
inbreeding postihuje *všechny lokusy*

zvýšení rozptylu fenotypového znaku

může vzniknout *vazebná nerovnováha*



***) v případě 1 lokusu nedochází k evoluci!**



Inbrední kmen: min. 20 generací striktního inbreedingu

20. generace → v genomu každého jedince 98,7% genů homozygotních
v každé následující generaci + 19,1 %

30. generace: 99,8%

40. generace: 99,98 %

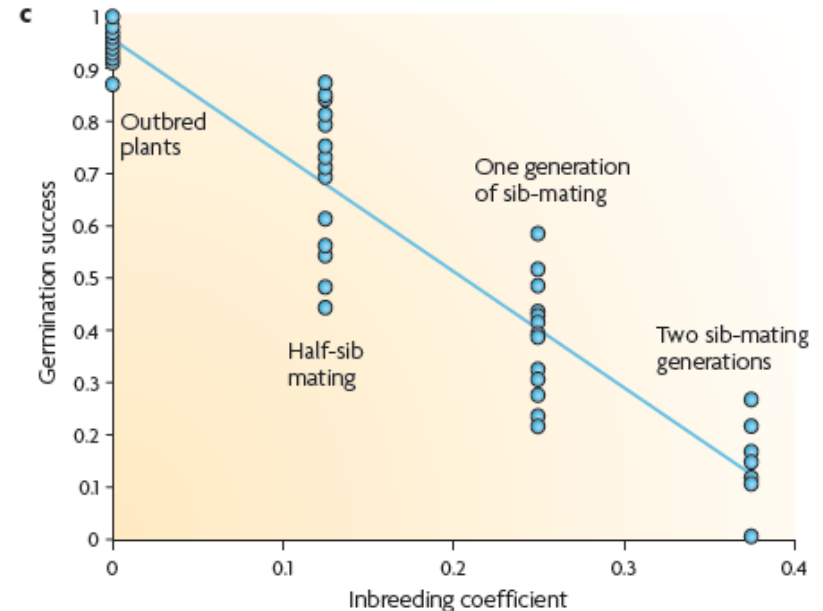
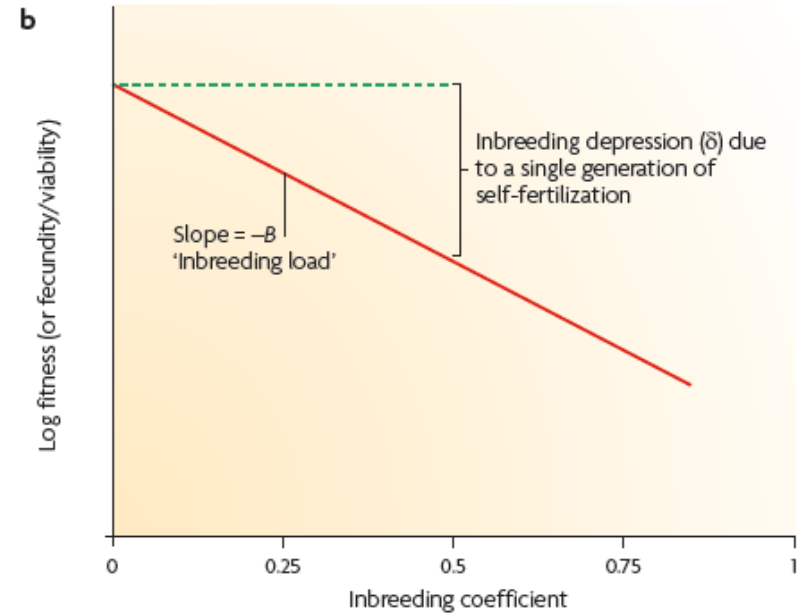
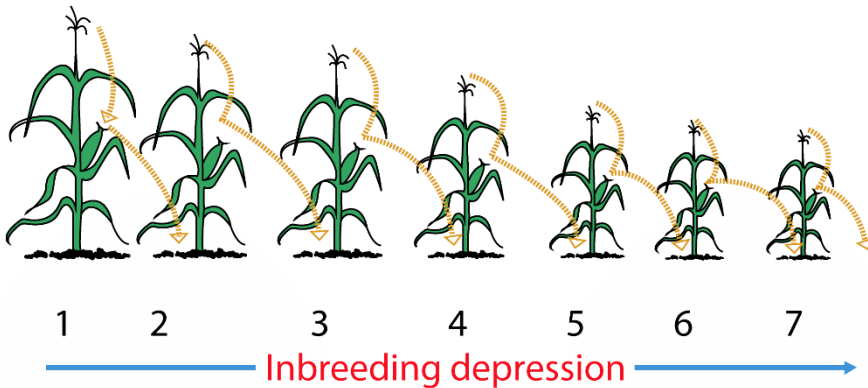
atd.



Fenotypové důsledky inbreedinou:

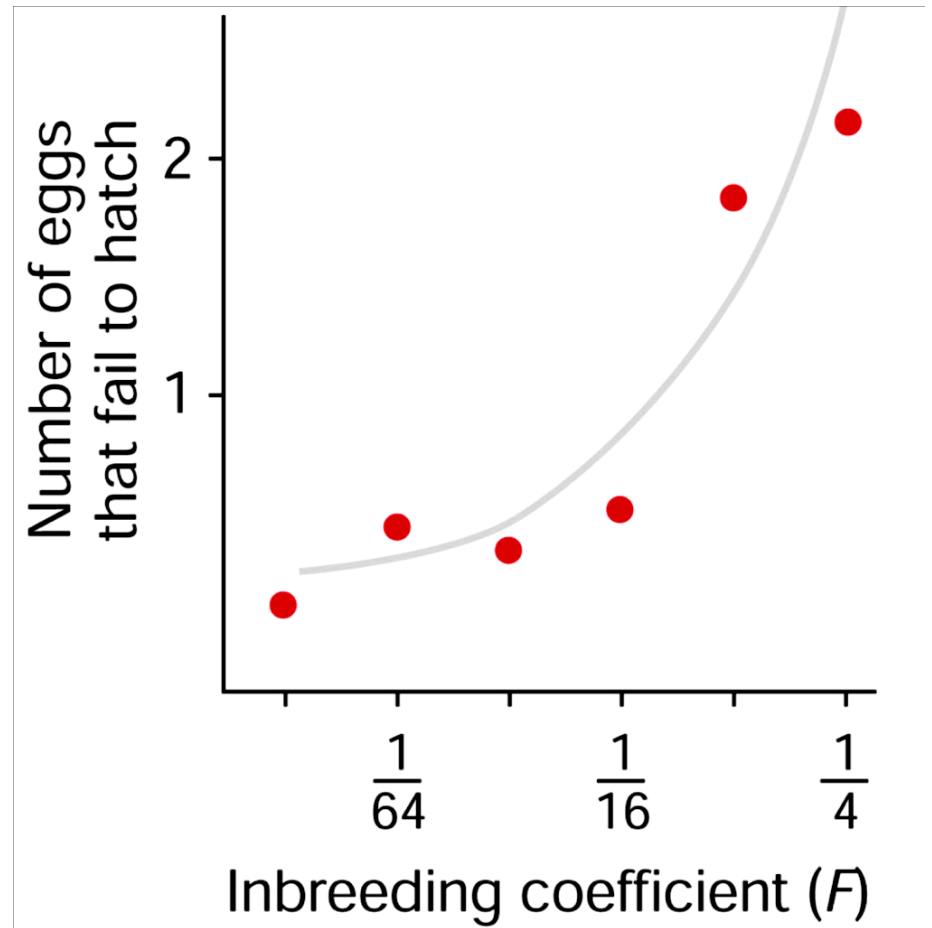
Inbrední deprese

výskyt vzácných chorob
snížení plodnosti
snížení životaschopnosti





van Noordwijk a Scharloo (1981)



Vysvětlení inbrední deprese:

hypotéza dominance: homozygotnost recesivních letálních alel

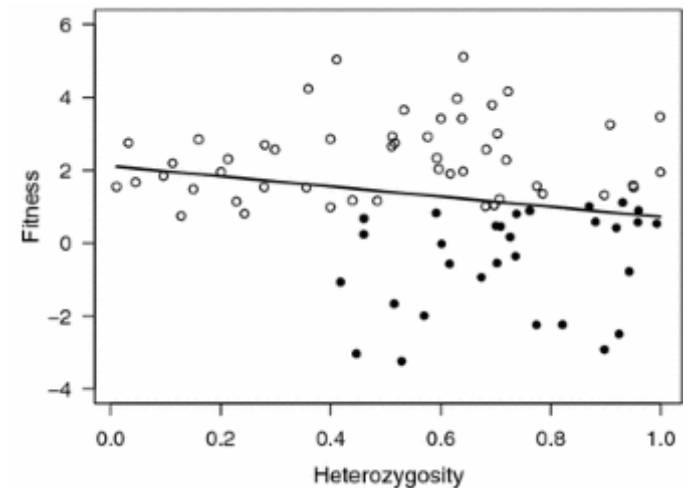
hypotéza superdominance: nízká heterozygotnost



nedokáže vysvětlit např. absenci letálních alel v genomu (vysoce inbredních) Tamilů

⇒ H_0 jako náhrada za F

⇒ nemusí fungovat!



Inbrední deprese u člověka:

amišové: hemofilie B, anémie, pletencová dystrofie, Ellis-Van Creveldův syndrom (zakrslost, polydaktylie), poruchy vývoje nehtů, defekty zubů

kmen Vandoma, Zimbabwe („Pštrosí lidé“): ektrodaktylie

mormoni v Hildale (Utah) a Colorado City (Arizona)

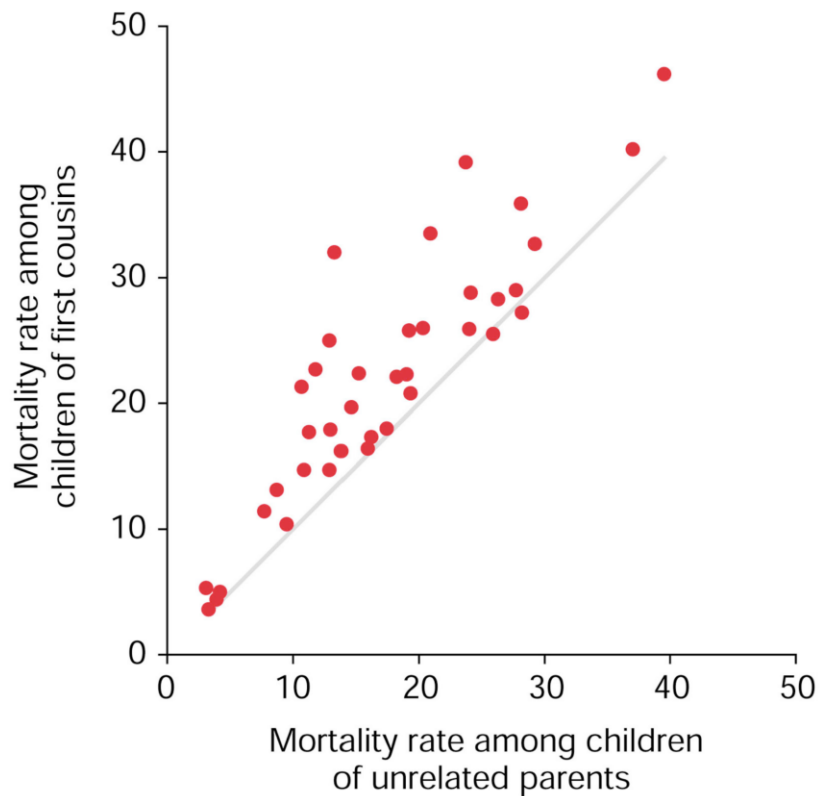
amazonští indiáni

šlechtické rody



"No, it's just that the royal inbreeding makes me look like a frog."

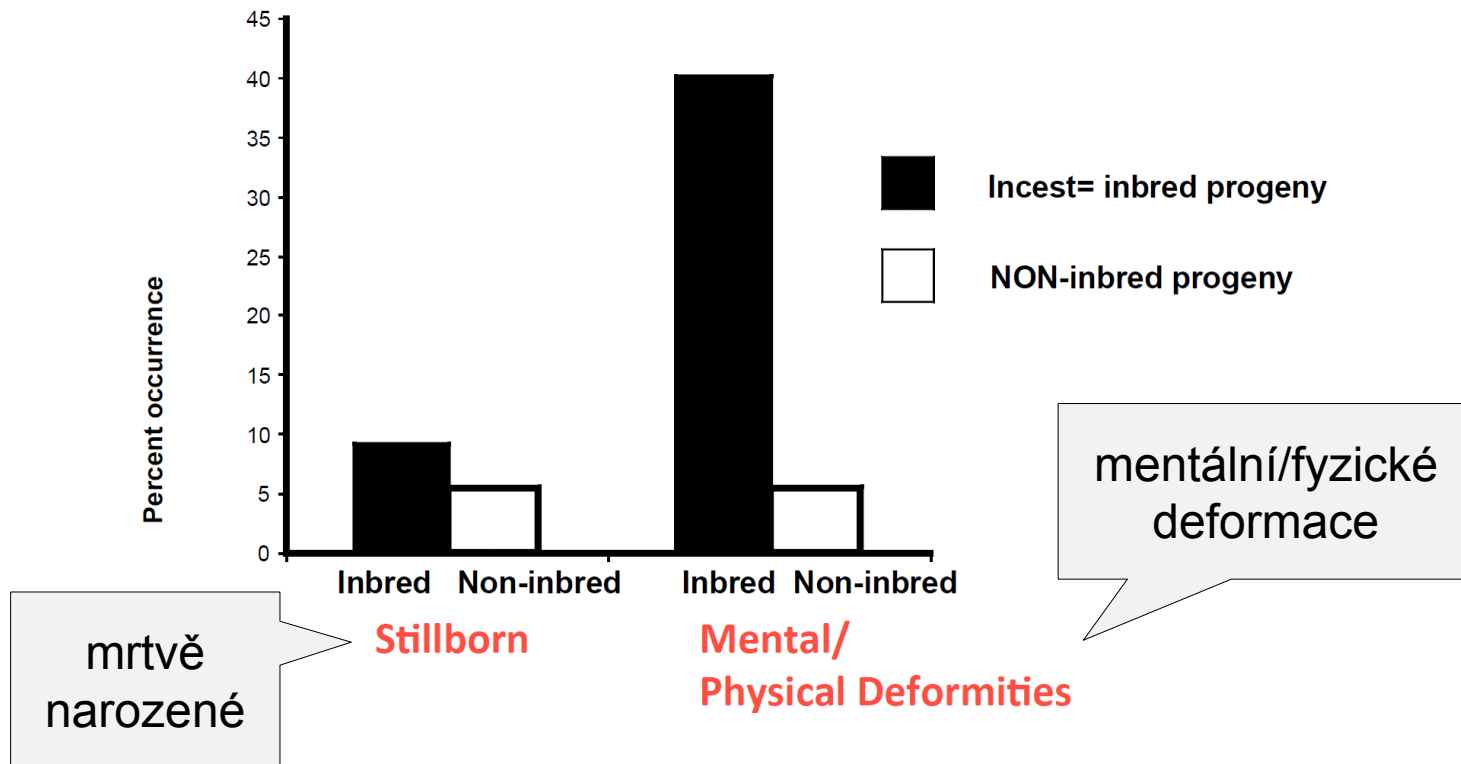




Mortality rates in:	Period	Children of first cousins	Children of non-relatives
Young children (US)	< 1858	22%	16%
Children <20 (US)	18th-19thC.	17%	12%
Children <10 (US)	1920-1956	8.1%	2.4%
Children <1 (France)	1919-1950	9.3%	3.9%
Children (France)	1919-1950	14%	10%

Bittles a Neel (1994)

Důsledky incestu s otcem, bratrem nebo synem – studie 161 československých žen (Seemanová 1971):

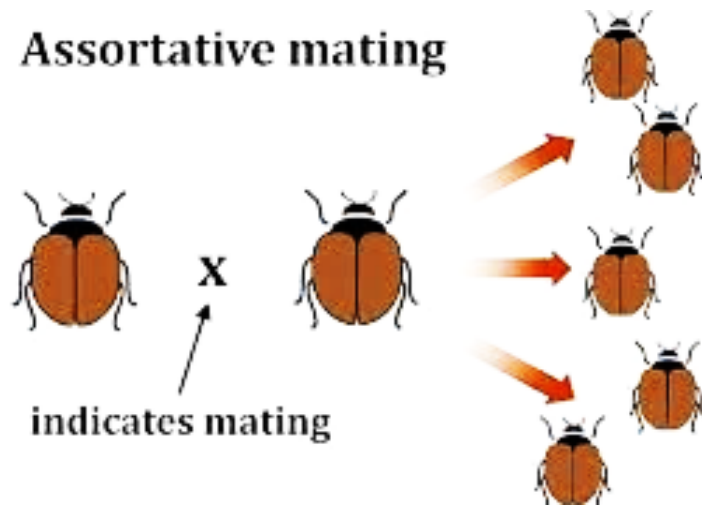


Pozor! Ne vždy musí být inbreeding škodlivý (např. řada druhů vyšších rostlin je samosprašná). Navíc důsledky inbreedingu se mohou lišit v rámci jednoho druhu v závislosti na vnějším prostředí.

ASORTATIVNÍ PÁŘENÍ

(*assortative mating*)

= vyšší pravděpodobnost páření mezi jedinci se stejným fenotypem



... vyšší pravděpodobnost páření mezi jedinci se stejným fenotypem

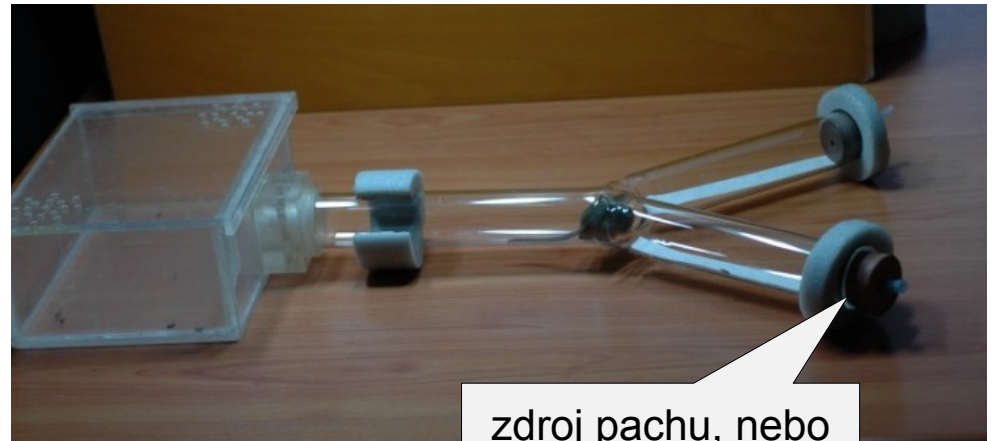
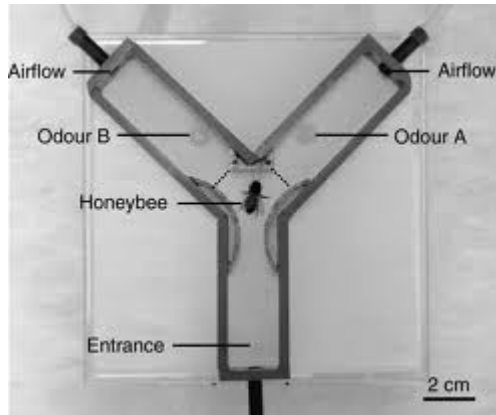
příčinou může být preference partnera se stejným fenotypem, ale mohou existovat i jiné příčiny (např. fytofágní hmyz – jedinci žijící na různých druzích hostitelské rostliny můžou dospívat v odlišnou dobu ⇒ častější páření jedinců se stejným fenotypem (život na hostiteli) **bez aktivní preference partnera**

⇒ jde pouze o pozitivní **fenotypovou korelaci**

Rhagoletis pomonella

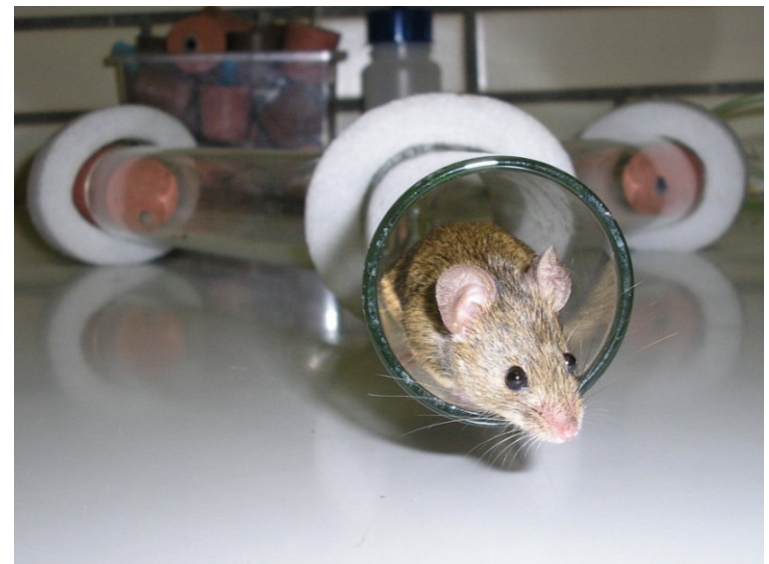


Test pachové preference: „Y-maze“



zdroj pachu, nebo box s živou myší

proud vzduchu

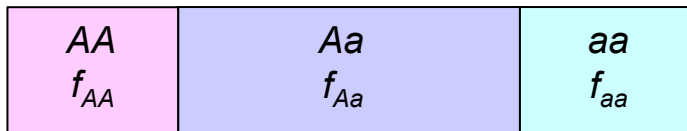


Model:

1 autozomální lokus, alely A , a

vztah genotyp-fenotyp = 1:1, každý genotyp \rightarrow odlišný fenotyp

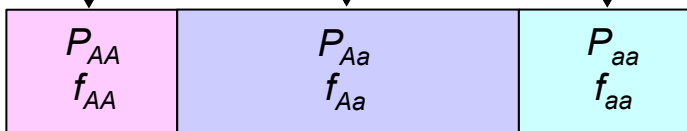
100% asortativní páření (tj. oplození pouze mezi jedinci se stejným fenotypem)



Populace zygot

mechanismus vývoje fenotypu (žádný účinek na viabilitu, reprodukční úspěšnost nebo fertilitu)

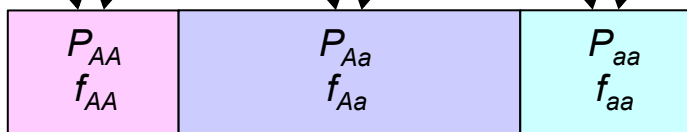
žádná selekce



Fenotypy adultní populace

mechanismus spojení gamet (asortativní páření)

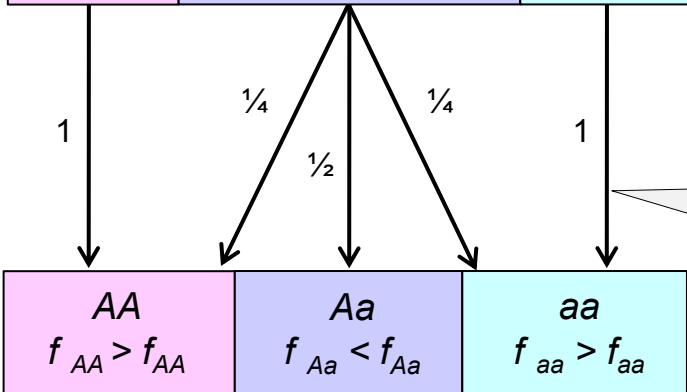
výběr pouze v rámci téže fenotypové třídy



Populace po rozmnožení

mendelovská dědičnost

z páření Aa x Aa vzniká $\frac{1}{4}$ AA a $\frac{1}{4}$ aa



Populace zygot následující generace

Výsledek (striktního) asortativního páření:

frekvence heterozygotů každou generaci sníženy na polovinu \Rightarrow dém postupně míří k rovnováze, kde **pouze homozygoti AA, aa**

pomocí F_{IS} můžeme kvantifikovat dopad asortativního páření na populaci:

pokud na počátku populace v HW rovnováze, $f_{Aa} = 2pq$ a $F_{IS} = 0$

v populaci zygot následující generace $f'_{Aa} = \frac{1}{2}(2pq)$ a $F_{IS} = \frac{1}{2}$

v konečné rovnováze (0 heterozygotů) $F_{IS} = 1$

pokud bychom sledovali jen 1 lokus, výsledek stejný jako výsledek inbreedingu pro 1 lokus \Rightarrow nazývat F_{IS} koeficientem inbreedingu může být zavádějící – *v tomto případě vůbec nejde o příbuzenské křížení!*

(\Rightarrow přesnější termín by byl „koeficient odchylky od náhodného páření“)

stejně jako v případě inbreedingu, na úrovni 1 lokusu asortativní páření nezpůsobuje žádnou evoluci (nemění se frekvence alel)

Více lokusů a vazebná nerovnováha:

100% asortativní páření

vztah genotyp-fenotyp = 1:1, každý genotyp → odlišný fenotyp

2 autozomální lokusy, alely A, a, B, b ; rekombinace mezi nimi r →

→ každá „velká“ alela (A, B) přispívá do fenotypu +1, „malá“ alela (a, b) 0

⇒ fenotyp $AB/AB = +4, ab/ab = 0$

→ 10 genotypů, které mohou být při asortativním páření spárovány
18 možnými způsoby (55 při náhodném oplození):

$AB \times AB, Ab \times Ab, aB \times aB, \dots, ab \times ab$

Více lokusů a vazebná nerovnováha:

→ frekvence AB/AB a ab/ab mohou jen růst, kdežto ostatní klesají, kromě heterozygota Ab/Ab^* , nebo aB/aB^{**} (ale ne obou!)

→ výsledkem jsou 2-3 potenciální rovnováhy, přičemž počáteční frekvence alel A a B určují, která z nich nastane

historický
kontext!

*) při $p_A > p_B$

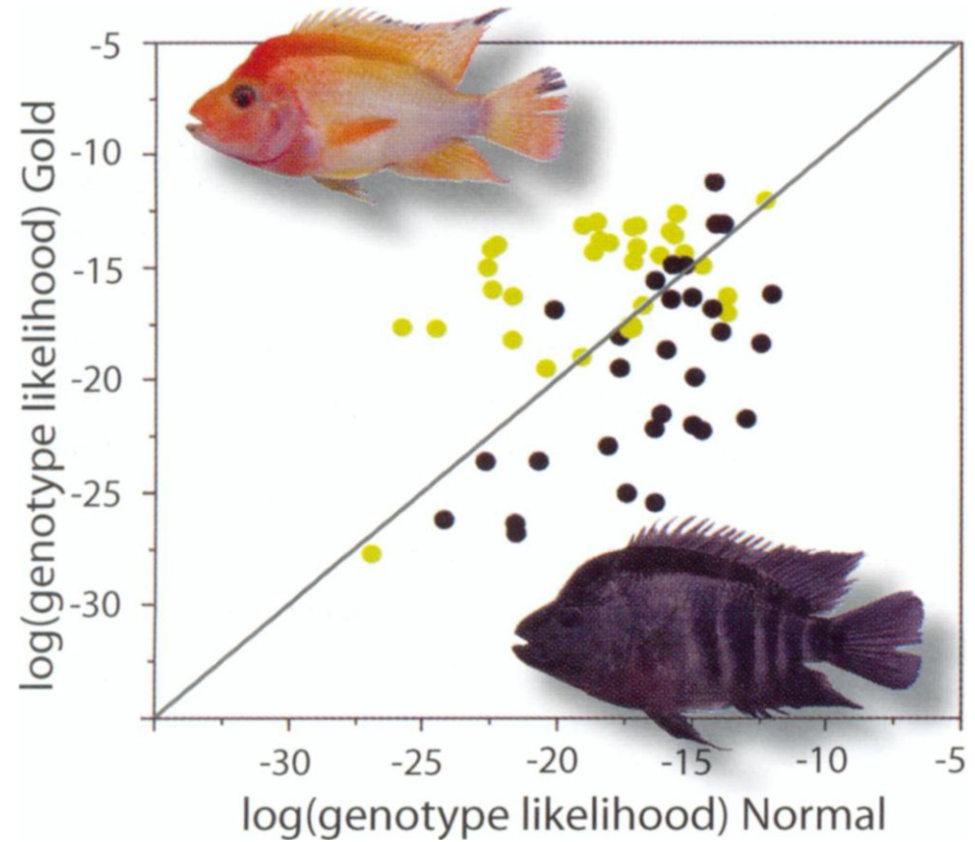
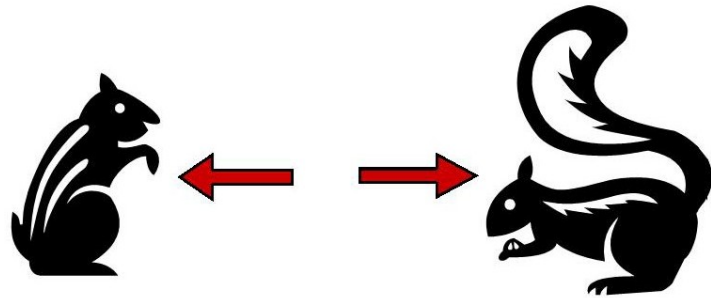
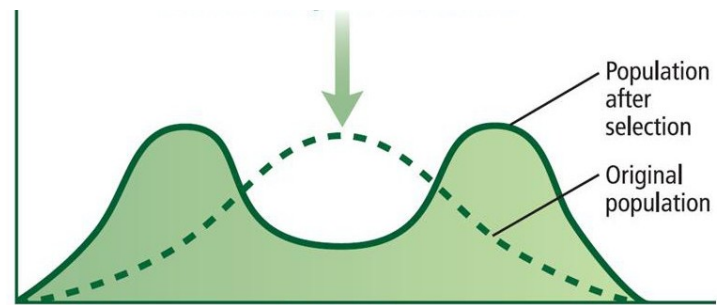
***) při $p_A < p_B$

Obecné důsledky asortativního páření:

1. zvýšení frekvence homozygotů na úkor heterozygotů
2. existuje více rovnováh, záleží na počátečním stavu genofondu (⇒ historické faktory jsou důležitým determinantem evolučních výstupů – platí tím spíše pro komplexnější modely)
3. Asort. páření může vytvořit a udržovat vazebnou nerovnováhu ⇒ v gametách alely různých genů s podobnými fenotypovými účinky

Z toho plyne, že na úrovni více lokusů je asortativní páření velice silným mikroevolučním mechanismem

... při extrémním asortativním páření → **reprodukční izolace**
(pohlavní výběr, cichlidy v afrických riftových jezerech!)



Rozdíly mezi inbreedingem a asortativním pářením:

působí **pouze na lokus(y) spojené s preferovaným fenotypem^{*}**)

× inbreeding ovlivňuje všechny lokusy

na multilokusové úrovni je asortativní páření **mocnou evoluční silou**
(silná vazebná nerovnováha mezi alelami s podobným fenotypovým účinkem)

× inbreeding pouze zesiluje LD tam, kde byla už na počátku, a to jen v případě samooplození, v ostatních případech „závod“ mezi rekombinací a inbreedingem → rekombinace „úspěšnější“, populace směřuje k vazebné rovnováze, i když pomaleji než při panmixii

^{*}) + okolní geny (sekvence), pokud mezi nimi není rekombinace

Asortativní výběr může být na základě genetických i negenetických znaků, např. u člověka:

barva kůže, náboženská orientace, sociální či ekonomické postavení, povolání, intelektuální schopnosti, vzdělání, věk, obličejové rysy, čichové schopnosti atd.



I negenetický asortativní výběr může dlouhodobě udržovat rozdíly ve frekvencích alel – stačí, když je fenotyp spojen s různými historickými populacemi:

např. Amišové: výběr na základě náboženství, jiný historický původ (Švýcarsko, 16. stol.) ⇒ dodnes rozdílné frekvence na mnoha lokusech



Komplikace pro forenzní analýzy:

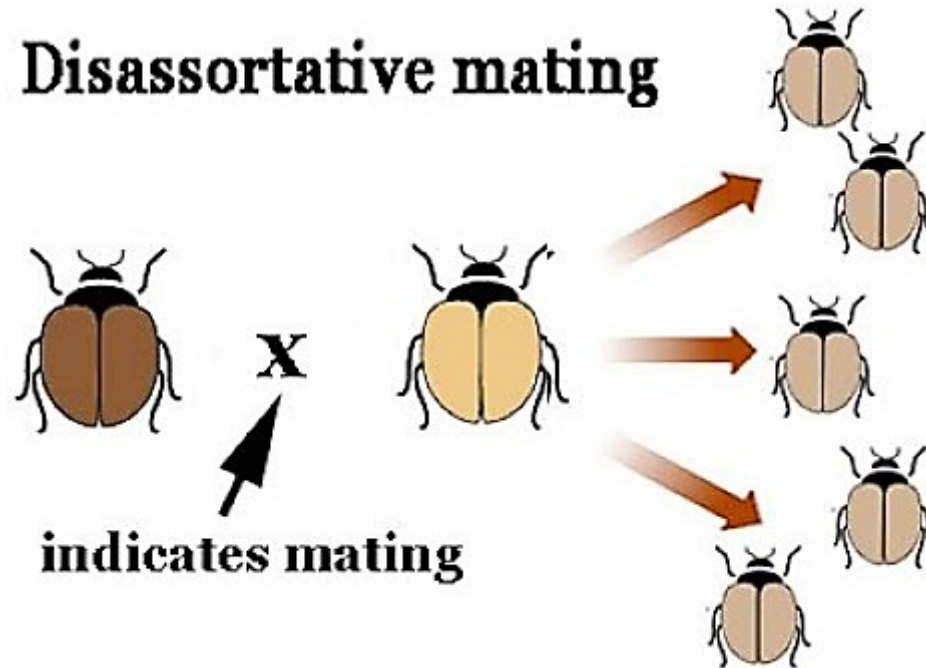
Pr. shody s podezřelým = $p^2 \Rightarrow$ vzácné alely vhodnější

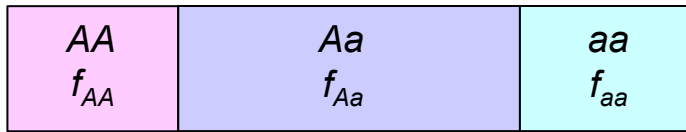
Pr. při asortativním páření = $p^2 + 2pqF_{IS}$,
genotypové frekvence spojené se vzácnou alelou však více
ovlivněny F_{IS} (i nízkými hodnotami!)

situace komplikovanější pro víc lokusů, protože asortativní oplození
způsobuje silnou vazebnou nerovnováhu mezi lokusy

DISASORTATIVNÍ PÁŘENÍ = NEGATIVNÍ AS. PÁŘENÍ (*disassortative mating*)

= preference partnera s odlišným fenotypem





Populace zygot

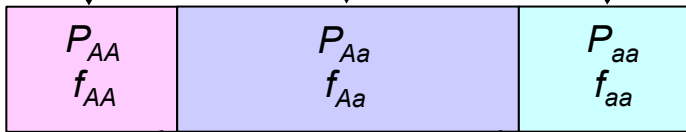
mechanismus vývoje fenotypu

1

1

1

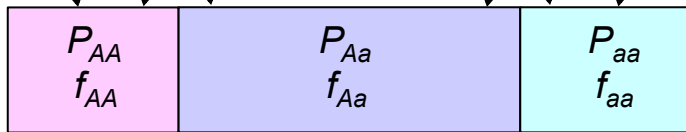
žádná selekce



Fenotypy adultní populace

mechanismus spojení gamet
(disasortativní páření)

preferance jiných fenotypů



Populace po rozmnožení

mechanismus produkce zygot

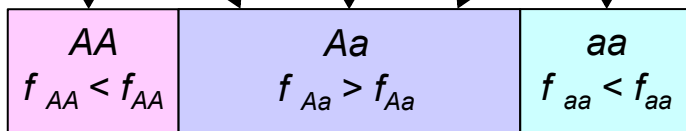
$\frac{1}{2}$

$\frac{1}{2}$

1

$\frac{1}{2}$

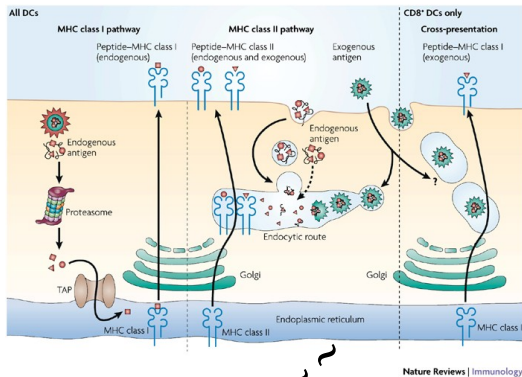
$\frac{1}{2}$



Populace zygot následující generace

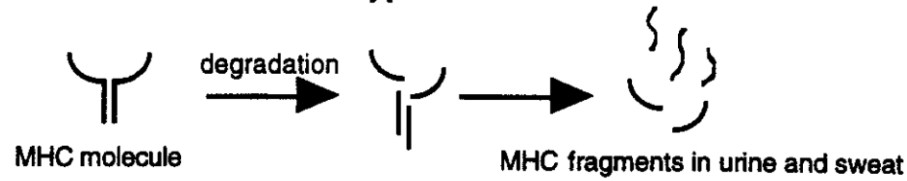
výsledkem disasortativního páření jsou **intermediární frekvence alel**

Př. preference samců s odlišným MHC (myš, člověk) – důvodem snaha o co nejvariabilnější imunitní systém

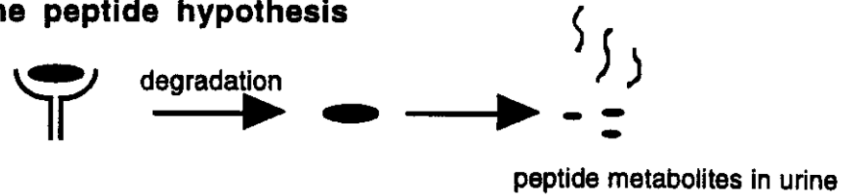


1. *MHC molecule hypothesis*: molekuly nebo fragmenty MHC jsou samy o sobě odoranty
2. *Peptide hypothesis*: peptidy navázané na molekuly MHC jsou prekurzory volatilních odorantů
3. *Microflora hypothesis*: MHC geny ovlivňují individuální komenzální mikroflóru
4. *Carrier hypothesis*: během degradace jsou MHC molekuly přeměněny z peptidy-prezentujících molekul na přenašeče vázající se na aromatické molekuly produkované komenzálními střevními mikroby
5. *Peptide-microflora hypothesis*: MHC molekuly mění dostupný „pool“ peptidů, z jejichž metabolických produktů mikroflóra utvoří volatilní látky (kombinace peptidové a mikroflórové hyp.)

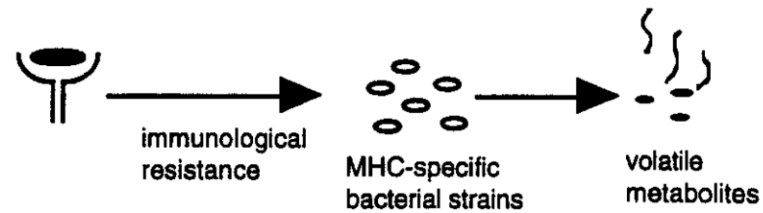
(1) The MHC molecule hypothesis



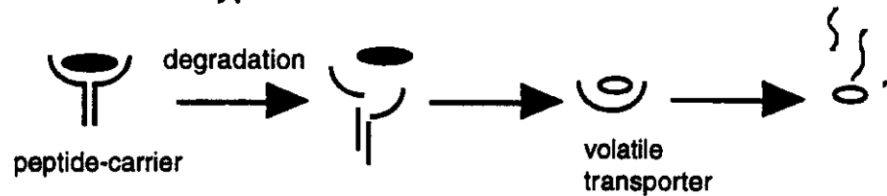
(2) The peptide hypothesis



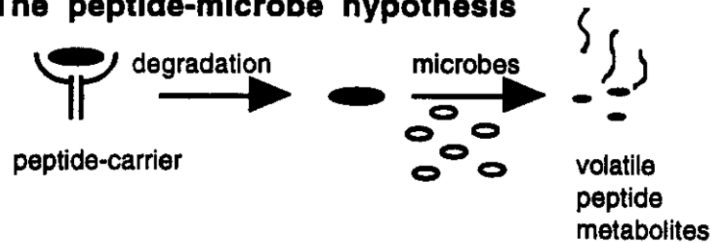
(3) The microflora hypothesis



(4) The carrier hypothesis



(5) The peptide-microbe hypothesis



Vzhledem k intermediálním alelovým frekvencím → **udržování polymorfismu** × různé počáteční podmínky vedou k odlišným stabilním rovnováhám

$$F_{IS} < 0$$

mění frekvence alel i na úrovni jednoho lokusu ⇒ **evoluce!**

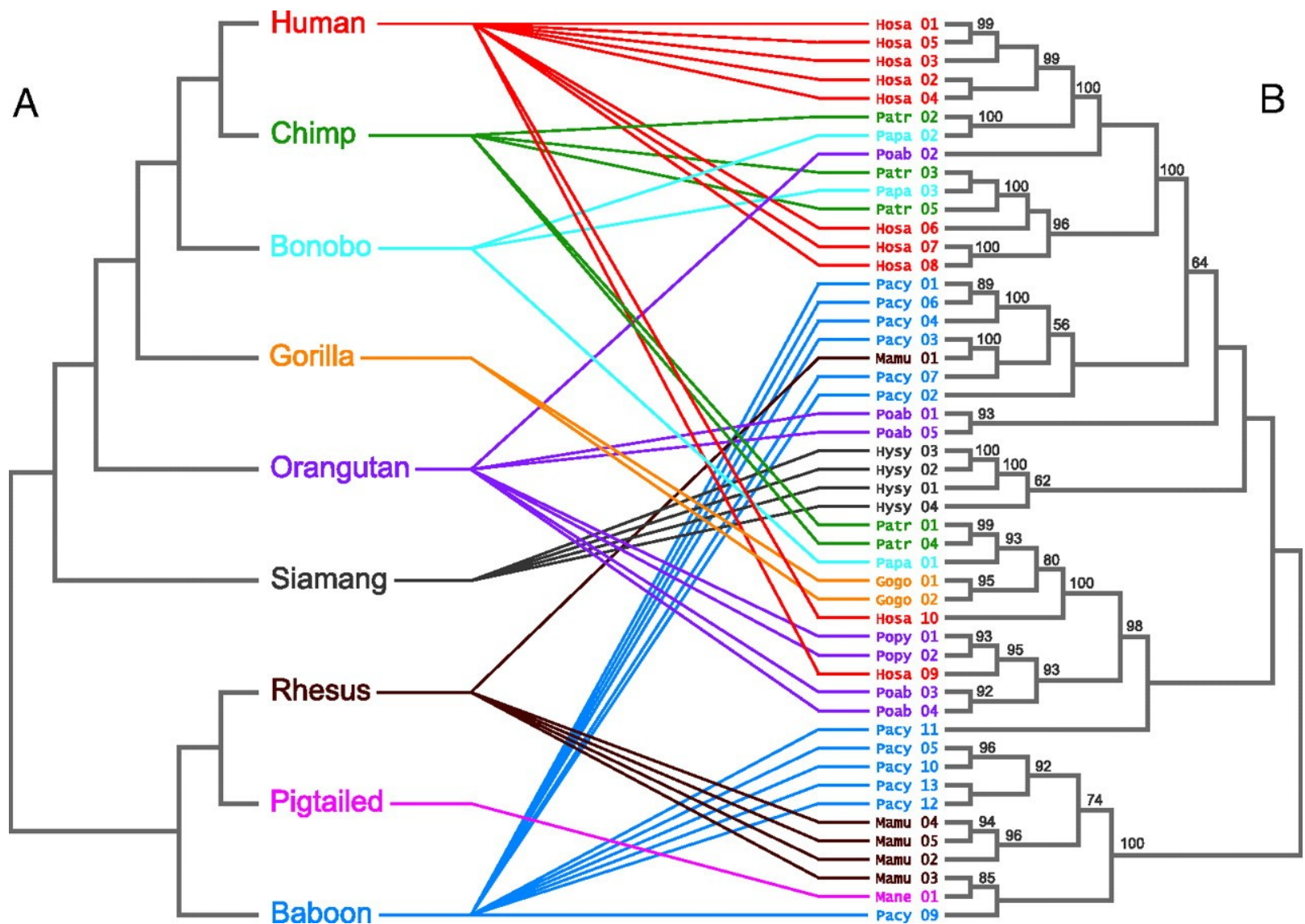
× rozdíl od asortativního páření: protože LD je redukováno rychlostí, která závisí na frekvenci dvojitych heterozygotů a disasort. páření zvyšuje frekvenci heterozygotů, bude naopak **zesilovat účinky rekombinace a LD zeslabovat**

× na rozdíl od asort. páření **opačné účinky na genetickou divergenci lokálních populací (genetická homogenizace)**

MHC: transspecifický polymorfismus

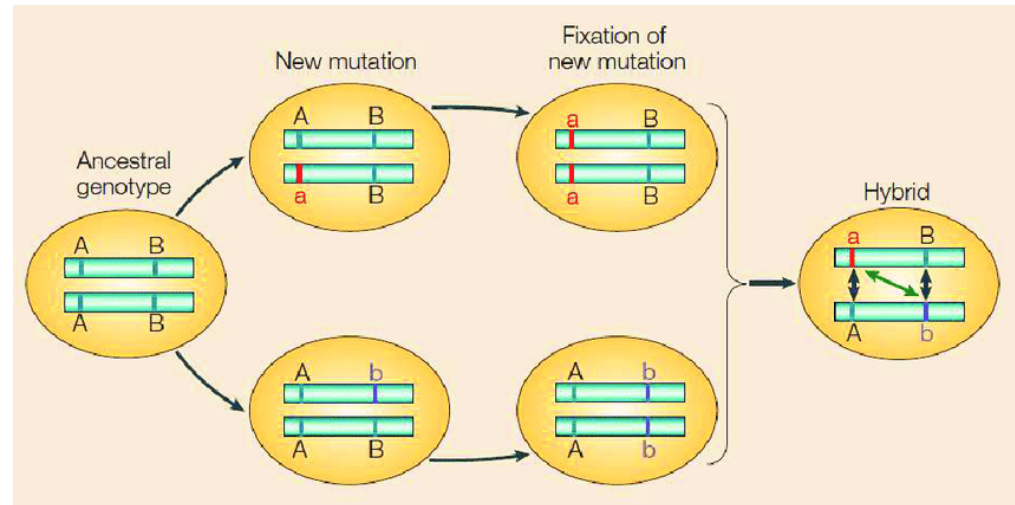
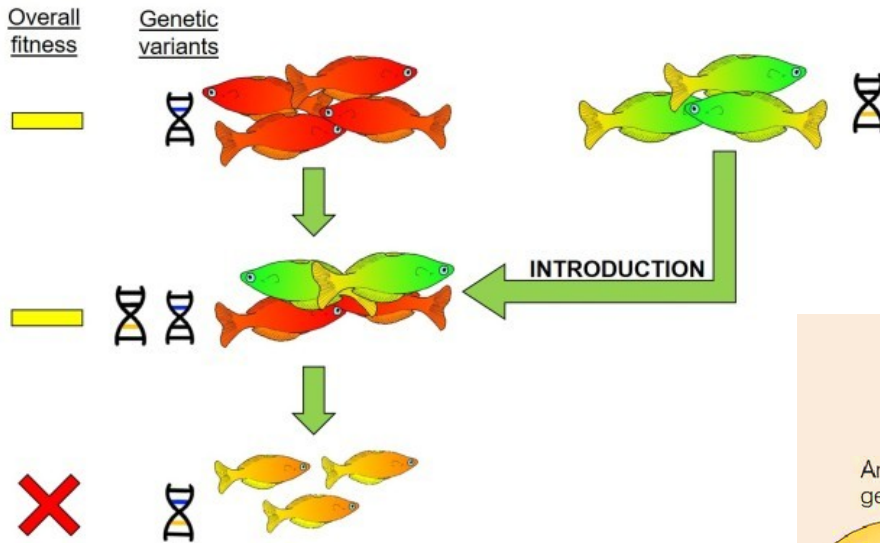
riziko outbrední deprese ⇒ disasortativní výběr má své limity

MHC (sekvence promotoru genu *DQA1*):



Outbrední deprese:

vnější (*extrinsic*) příčiny: hybridizace mezi populacemi adaptovanými na odlišná prostředí → hybridy neadaptovaní ani na jedno



vnitřní (*intrinsic*): inkompatibilita mezi koadaptovanými genomy → nezávisí na prostředí (*Dobzhansky-Muller incompatibility*)